



등록특허 10-2164052



(19) 대한민국특허청(KR)
(12) 등록특허공보(B1)

(45) 공고일자 2020년10월12일
(11) 등록번호 10-2164052
(24) 등록일자 2020년10월05일

- (51) 국제특허분류(Int. Cl.)
C12Q 1/6886 (2018.01) *G01N 33/574* (2006.01)
G16H 50/20 (2018.01) *G16H 50/30* (2018.01)
- (52) CPC특허분류
C12Q 1/6886 (2018.05)
G01N 33/57407 (2013.01)
- (21) 출원번호 10-2018-0163080
(22) 출원일자 2018년12월17일
심사청구일자 2018년12월17일
- (65) 공개번호 10-2020-0074555
(43) 공개일자 2020년06월25일
- (56) 선행기술조사문헌
Cancer J., 19(4): 324-332 (2013.08.)*
Int J Clin Exp Med, 8(8): 13388-13392
(2015.08.15.)*
Sci Rep, 8(1): 16477 (2018.11.07.)*

*는 심사관에 의하여 인용된 문헌

- (73) 특허권자
연세대학교 산학협력단
서울특별시 서대문구 연세로 50 (신촌동, 연세대학교)
- (72) 발명자
함원식
서울특별시 강남구 일원로 127, 110동 302호(일원동, 가람아파트)
- 박지수
서울특별시 송파구 양재대로 1218, 257동 901호(방이동, 올림픽선수기자촌아파트)
- (74) 대리인
이재영

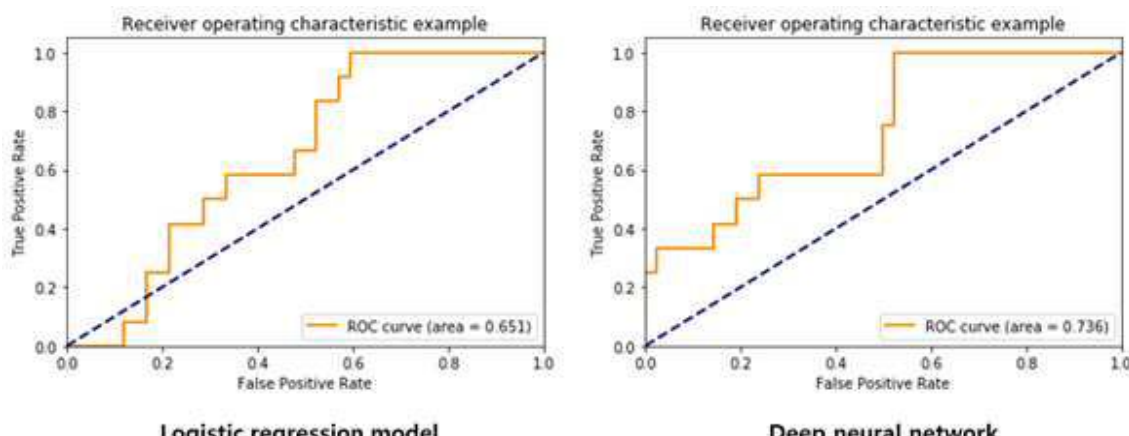
전체 청구항 수 : 총 6 항

심사관 : 이준혁

(54) 발명의 명칭 암의 진단을 위한 정보를 제공하는 방법

(57) 요약

본 발명은 암의 진단을 위한 정보를 제공하는 방법 및 장치에 관한 것으로, 본 발명의 상기 방법 및 장치를 이용하는 경우 암과 관련성이 있는 유전자 또는 그에 의해 암호화되는 단백질을 독립변수로 하여 분석한 경우에 비하여, 그 정확도 및 AUC(Area under the curve) 값을 현저하게 증가시킬 수 있다. 나아가, 이를 통해 진단 당시에 암의 악성 여부를 예측함으로써, 환자 개인에 특화되어 있는 치료방법을 효과적으로 제공할 수 있다.

대 표 도 - 도5

(52) CPC특허분류

G01N 33/57438 (2019.01)*G16H 50/20* (2018.01)*G16H 50/30* (2018.01)*C12Q 2600/136* (2013.01)*C12Q 2600/158* (2013.01)*G01N 2333/4703* (2013.01)*G01N 2333/9108* (2013.01)*G01N 2500/00* (2013.01)

이) 발명을 지원한 국가연구개발사업

과제고유번호	HI17C1095
부처명	보건복지부
과제관리(전문)기관명	한국보건산업진흥원
연구사업명	질환극복기술개발사업
연구과제명	T1 병기 신세포암에서의 개별 맞춤 치료를 위한 예후 바이오마커로서의 FOXC2와 CLIP4의 유효성 평가 및 고위험군 예측 모형의 개발
기여율	1/1
과제수행기관명	연세대학교 산학협력단
연구기간	2018.01.01 ~ 2018.12.31

명세서

청구범위

청구항 1

목적하는 개체로부터 분리된 생물학적 시료에서, *FOXC2*(Forkhead box protein C2), *PBRM1*(Protein polybromo-1) 및 *BAP1*(*BRCA1* associated protein 1)으로 구성된 군으로부터 선택되는 2종 이상의 유전자 또는 이에 의해 암호화되는 단백질이 존재하는 수준을 측정하는 단계; 및

상기 유전자 또는 상기 단백질이 존재하는 수준의 측정된 값을 미리 설정된 방법에 적용하여 위험 점수를 산출하는 단계;를 포함하고,

상기 미리 설정된 방법은 하기 식 1 내지 4로 구성된 군으로부터 선택되는 적어도 하나의 식을 통해 위험 점수를 산출하는 것인, 악성 투명세포형 신세포암(Clear cell renal cell carcinoma; ccRCC)의 진단을 위한 정보를 제공하는 방법:

[식 1]

$$\text{위험 점수} = 1/[1 + \exp(-(A1 - A2 \times (\text{PBRM1_norm}) - A3 \times (\text{BAP1_norm})))]$$

[식 2]

$$\text{위험 점수} = 1/[1 + \exp(-(B1 - B2 \times (\text{PBRM1_norm}) - B3 \times (\text{FOXC2_norm})))]$$

[식 3]

$$\text{위험 점수} = 1/[1 + \exp(-(C1 - C2 \times (\text{BAP1_norm}) - C3 \times (\text{FOXC2_norm})))]$$

[식 4]

$$\text{위험 점수} = 1 / [1 + \exp(-(\text{D1} - \text{D2} \times (\text{FOXC2_norm}) - \text{D3} \times (\text{PBRM1_norm}) - \text{D4} \times (\text{BAP1_norm})))]$$

상기 식 1 내지 4에서, *PBRM1_norm*은 (*PBRM1*의 유전자 또는 이에 의해 암호화되는 단백질의 발현 수준)/0.06, *BAP1_norm*은 (*BAP1*의 유전자 또는 이에 의해 암호화되는 단백질의 발현 수준)/0.005, *FOXC2_norm*은 (*FOXC2*의 유전자 또는 이에 의해 암호화되는 단백질의 발현 수준)/0.096이고,

상기 식 1에서 *A1*은 -1.5 내지 -0.9, *A2*는 0.7 내지 1.1, *A3*는 0.3 내지 0.7이고, 상기 식 2에서 *B1*은 -1.5 내지 -0.9, *B2*는 0.6 내지 1.0, *B3*는 0.1 내지 0.5이며, 상기 식 3에서 *C1*은 -1.5 내지 -0.9, *C2*는 0.3 내지 0.7, *C3*는 0.3 내지 0.7이고, 상기 식 4에서 *D1*은 -1.5 내지 -0.9, *D2*는 0.1 내지 0.5, *D3*는 0.6 내지 1.0, *D4*는 0.2 내지 0.8이다.

청구항 2

삭제

청구항 3

삭제

청구항 4

삭제

청구항 5

삭제

청구항 6

제 1항에 있어서,

상기 위험 점수가 0.2 내지 1인 경우 악성 투명세포형 신세포암으로 분류하는 단계를 더 포함하는 것인, 악성 투명세포형 신세포암의 진단을 위한 정보를 제공하는 방법.

청구항 7

제 1항에 있어서,

상기 미리 설정된 방법은 딥 러닝(Deep learning) 분석 방법인 것인, 악성 투명세포형 신세포암의 진단을 위한 정보를 제공하는 방법.

청구항 8

제 7항에 있어서,

상기 딥 러닝 분석 방법은 딥뉴럴네트워크(Deep neural networks; DNN), 딥콘볼루션뉴럴네트워크(Deep convolutional neural networks), 딥신뢰뉴럴네트워크(Deep belief networks; DBN) 및 순환뉴럴네트워크(Recurrent neural networks; RNN)로 구성된 군으로부터 선택되는 적어도 하나를 사용하여 학습된 것인, 악성 투명세포형 신세포암의 진단을 위한 정보를 제공하는 방법.

청구항 9

목적하는 개체로부터 분리된 생물학적 시료에서, *FOXC2*, *PBRM1* 및 *BAP1*으로 구성된 군으로부터 선택되는 2종 이상의 유전자 또는 이에 의해 암호화되는 단백질이 존재하는 수준이 측정된 값을 입력하는 입력부;

상기 입력부에 입력된 값을 미리 설정된 방법에 적용하여 위험 점수를 산출하는 산출부; 및

상기 산출부로부터 전송 받은 값을 표시하는 표시부를 포함하고,

상기 미리 설정된 방법은 하기 식 1 내지 4로 구성된 군으로부터 선택되는 적어도 하나의 식을 통해 위험 점수를 산출하는 것인, 악성 투명세포형 신세포암의 진단을 위한 정보 제공 장치:

[식 1]

$$\text{위험 점수} = 1/[1 + \exp(-(A1 - A2 \times (\text{PBRM1_norm}) - A3 \times (\text{BAP1_norm})))]$$

[식 2]

$$\text{위험 점수} = 1/[1 + \exp(-(B1 - B2 \times (\text{PBRM1_norm}) - B3 \times (\text{FOXC2_norm})))]$$

[식 3]

$$\text{위험 점수} = 1/[1 + \exp(-(C1 - C2 \times (\text{BAP1_norm}) - C3 \times (\text{FOXC2_norm})))]$$

[식 4]

$$\text{위험 점수} = 1 / [1 + \exp(- (D1 - D2 \times (\text{FOXC2_norm}) - D3 \times (\text{PBRM1_norm}) - D4 \times (\text{BAP1_norm})))]$$

상기 식 1 내지 4에서, *PBRM1_norm*은 (*PBRM1*의 유전자 또는 이에 의해 암호화되는 단백질의 발현 수준)/0.06, *BAP1_norm*은 (*BAP1*의 유전자 또는 이에 의해 암호화되는 단백질의 발현 수준)/0.005, *FOXC2_norm*은 (*FOXC2*의 유전자 또는 이에 의해 암호화되는 단백질의 발현 수준)/0.096이고,

상기 식 1에서 *A1*은 -1.5 내지 -0.9, *A2*는 0.7 내지 1.1, *A3*는 0.3 내지 0.7이고, 상기 식 2에서 *B1*은 -1.5 내지 -0.9, *B2*는 0.6 내지 1.0, *B3*는 0.1 내지 0.5이며, 상기 식 3에서 *C1*은 -1.5 내지 -0.9, *C2*는 0.3 내지 0.7, *C3*는 0.3 내지 0.7이고, 상기 식 4에서 *D1*은 -1.5 내지 -0.9, *D2*는 0.1 내지 0.5, *D3*는 0.6 내지 1.0, *D4*는 0.2 내지 0.8이다.

청구항 10

삭제

청구항 11

삭제

청구항 12

삭제

청구항 13

삭제

청구항 14

제 9항에 있어서,

상기 표시부에, 상기 산출부로부터 전송된 위험 점수가 0.2 내지 1인 경우, 악성 투명세포형 신세포암으로 표시되는 것인, 악성 투명세포형 신세포암의 진단을 위한 정보 제공 장치.

청구항 15

삭제

청구항 16

삭제

청구항 17

삭제

청구항 18

삭제

청구항 19

삭제

청구항 20

삭제

발명의 설명

기술 분야

[0001] 본 발명은 암의 진단을 위한 정보를 제공하는 방법에 관한 것이다.

배경 기술

[0002] 종양(Tumor)은 비정상적인 세포의 과잉으로 인하여 발생하는 비제어적이고, 무질서한 세포 증식의 산물로서, 상기 종양이 파괴적인 증식성, 침윤 및 전이성을 가지게 되면 악성 종양(Malignant tumor), 즉 악성 암으로 분류하게 된다. 암의 종류는 현재까지 밝혀진 것만 해도 수십 종에 이르며, 주로 발병 조직의 위치에 따라 구분된다.

[0003] 20년 전까지만 하여도, 비뇨기암 환자는 모든 비뇨기 질환의 20 내지 30%에 불과하였으나, 최근 비뇨기암의 발생률이 해마다 증가되어 그 비율이 50%에 해당하게 되었다. 비뇨기암 환자 중에서, 신세포암(Renal cell carcinoma; RCC) 환자는 전 세계적으로 매년 270,000명에 이르고 있으며, 매년 약 120,000명이 이로 인해 사망하고 있다. 이와 같은 암은 측면 통증, 측면 종양 및 혈뇨를 포함하는 고전적인 증상을 나타내며, 대부분의 경우 CT와 초음파 이미징의 발전에 의해 증상 없이 우연히 진단되는 것을 특징으로 한다. 신세포암의 유형으로 투명세포형 신세포암(Clear cell renal cell carcinoma; 이하 'ccRCC'라 함), 유두 신세포암, 난염성 신세포암 등이 존재하며, 이와 같은 유형들은 모두 다른 예후와 치료에 대한 적응성을 나타낸다.

[0004] 위와 같은 신세포암의 유형 중에서 가장 일반적인 유형인 ccRCC는 신세포암 중에서 약 70%를 차지한다. 초기에

는 ccRCC가 진단되는 경우, 임상의는 임상 가이드라인에 의해 외과적 절제, 냉동 수술, 방사선 절제술 및 추적 검사와 같은 다양한 임상적 치료 방법을 선택할 수 있었다. 그러나, 국소화된 ccRCC의 경우, 절제술이 수행된 30%의 환자에서 재발이 일어나고, 15%의 환자에서 잠재적으로 사망에 까지 이르게 할 수 있는 전이성을 나타낼 수 있음이 밝혀졌다.

[0005] 이에 따라 악성 ccRCC 여부를 가려내고, 환자 개인에 적절한 임상적 치료 방법의 전략 결정 및 보조 요법에 관한 상담을 용이하게 하기 위하여, 임상 결과의 정확한 예측 인자를 확인하는 것이 필수적이다. 다양한 종양학적 결과와 관련하여, 예측 인자들이 보고되어 있으며 이러한 예측 인자들을 이용한 Mayo 클리닉 스코어, UCLA(University California Los Angeles) 통합 시스템, MSKCC(Memorial Sloan Kettering Cancer Center) 노모그램 등과 같은 ccRCC를 예측할 수 있는 모델의 연구가 진행되고 있다.

[0006] 그러나, 이러한 모델에 사용되는 일부 요인은 시간에 의존적인 요인(종양 성장 및 방사선 이미지의 변화 등)이나, 판단자 개인에 의해 편차가 발생될 수 있는 요인(종양의 등급, 종양 괴사 정도 및 환자의 성과 상태 등)이기 때문에 빠른 측정 및 일관된 결과를 얻기에는 한계점이 존재하였다. 또한, 상기 모델의 경우 ccRCC에서 발생되는 종양생물학을 완전히 설명하지 못한다는 한계점이 존재하여 비뇨기암, 특히 악성 ccRCC를 선별해 내어 이에 특이적인 치료법을 선택할 수 있는 방법에 대한 연구는 현재까지 미비한 실정이다.

발명의 내용

해결하려는 과제

[0007] 본 발명의 일 목적은 암 진단에 관한 정보를 제공하는 방법을 제공하는 것이다.

[0008] 본 발명의 다른 목적은 암 진단에 관한 정보 제공 장치를 제공한다.

[0009] 본 발명의 또 다른 목적은 암 치료제 스크리닝 방법을 제공한다.

[0010] 그러나 본 발명이 이루고자 하는 기술적 과제는 이상에서 언급한 과제에 제한되지 않으며, 언급되지 않은 또 다른 과제들은 아래의 기재로부터 당 업계에서 통상의 지식을 가진 자에게 명확하게 이해될 수 있을 것이다.

과제의 해결 수단

[0011] 본 발명자들은 전이, 재발 또는 암에 의한 사망률 높은 수준으로 나타나는 악성 투명세포형 신세포암(Clear cell renal cell carcinoma; ccRCC)에서, *FOXC2*(Forkhead box protein C2), *PBRM1*(Protein polybromo-1) 및 *BAP1*(BRCA1 associated protein 1) 유전자 및 이에 의해 암호화되는 단백질의 발현이, 악성이 아닌 투명세포형 신세포암에 비하여 감소되어 있는 것을 통해 악성 투명세포형 신세포암을 진단할 수 있음을 발견하여 본 발명을 완성하게 되었다.

[0013] 본 발명의 일 구현 예에서는 암 진단에 관한 정보를 제공하는 방법을 제공한다.

[0015] 본 발명의 상기 정보를 제공하는 방법은 목적하는 개체로부터 분리된 생물학적 시료에서, *FOXC2*, *PBRM1* 및 *BAP1*으로 구성된 군으로부터 선택되는 2종 이상의 유전자 또는 이에 의해 암호화되는 단백질이 존재하는 수준을 측정하는 단계; 및 상기 유전자 또는 상기 단백질이 존재하는 수준의 측정된 값을 미리 설정된 방법에 적용하여 위험 점수를 산출하는 단계;를 포함한다.

[0016] 본 발명의 상기 *FOXC2* 유전자 또는 이에 의해 암호화되는 단백질은, *FOXC2* 유전자는 출생 전 배아의 기관과 조직의 형성에 중요한 역할을 하는 전사인자 단백질인 *FOXC2* 단백질을 암호화하는 것으로서, 유방암의 경우 상기 *FOXC2* 유전자에 의해 암호화되는 단백질의 발현이 증가되는 경우 유방암의 전이를 유도할 수 있다는 보고가 존재한다. 본 발명의 목적상 상기 *FOXC2* 유전자 또는 이에 의해 암호화되는 단백질은 비뇨기암에서 유방암에서와 달리, 세포 사이클이 잘못되는 경우를 체크하는 역할을 수행하는 것으로, 이와 같은 유전자 또는 이에 의해 암호화되는 단백질의 발현이 감소되었을 때 비뇨기암의 전이, 재발 및/또는 암으로 인한 사망률이 높아지는 것일 수 있다. 상기 *FOXC2* 유전자는 서열번호 1로 표시되는 염기 서열을 포함하는 것일 수 있고, *FOXC2* 단백질은 서열번호 2로 표시되는 아미노산 서열로 이루어진 것일 수 있으나, 이에 제한되는 것은 아니다.

[0017] 본 발명의 상기 *PBRM1* 유전자 또는 이에 의해 암호화되는 단백질은, ATP-의존성 크로마틴-리모델링 복합체의 서브유닛을 암호화하는 유전자로서, 이와 같은 유전자에 의해 암호화된 단백질은 핵 호르몬 수용체에 의한 리간드 의존성 전화 활성화에 필요한 복합체의 필수 성분에 해당한다. 상기 *PBRM1* 유전자는 서열번호 3으로 표시되는 염기 서열을 포함하는 것일 수 있고, *PBRM1* 단백질은 서열번호 4로 표시되는 아미노산 서열로 이루어진 것일 수

있으나, 이에 제한되는 것은 아니다.

[0018] 본 발명의 상기 *BAP1* 유전자 또는 이에 의해 암호화되는 단백질은, 유비퀴틴 카르복실-말단 가수분해 효소 *BAP1*(ubiquitin carboxyl-terminal hydrolase BAP1)을 암호화하는 유전자로서, 상기 효소는 탈유비퀴틴화 효소로서 작용하여 다양한 세포 과정에 관여하는 많은 단백질의 기능을 조절하는데 도움을 주는 역할을 한다. 상기 *BAP1* 유전자는 서열번호 5로 표시되는 염기 서열을 포함하는 것일 수 있고, *BAP1* 단백질은 서열번호 6으로 표시되는 아미노산 서열로 이루어진 것일 수 있으나, 이에 제한되는 것은 아니다.

[0019] 본 발명의 상기 정보를 제공하는 방법에서 상기 측정의 대상이 되는 유전자 또는 이에 의해 암호화되는 단백질은 *FOXC2*, *PBRM1* 및 *BAP1*으로 구성된 군으로부터 선택되는 2종 이상을 포함하는 것일 수 있고, 바람직하게는 *FOXC2*와, *PBRM1* 또는 *BAP1* 중 어느 하나 이상을 포함하는 것일 수 있고, 더욱 바람직하게는 상기 *FOXC2*, *PBRM1* 및 *BAP1*를 모두 포함하는 것일 수 있으나, 이에 제한되는 것은 아니다. 이와 같이 상기 *FOXC2*, *PBRM1* 및 *BAP1*를 모두 포함하는 경우에는 각각 개개의 유전자 또는 이에 의해 암호화되는 단백질을 측정하는 경우에 비하여 예측 정확도를 현저하게 높일 수 있다.

[0020] 본 발명의 상기 생물학적 시료는 개체로부터 얻어지거나 개체로부터 유래된 임의의 물질, 생물학적 체액, 조직 또는 세포를 의미하는 것으로, 예를 들면, 전혈(whole blood), 백혈구(leukocytes), 말초혈액 단핵 세포(peripheral blood mononuclear cells), 백혈구 연층(buffy coat), 혈장(plasma) 및 혈청(serum)을 포함하는 혈액, 객담(sputum), 눈물(tears), 점액(mucus), 세비액(nasal washes), 비강 흡인물(nasal aspirate), 호흡(breath), 소변(urine), 정액(semen), 침(saliva), 복강 세척액(peritoneal washings), 골반 내 유체액(pelvic fluids), 낭종액(cystic fluid), 뇌척수막 액(meningeal fluid), 양수(amniotic fluid), 선액(glandular fluid), 췌장액(pancreatic fluid), 림프액(lymph fluid), 흉수(pleural fluid), 유두 흡인물(nipple aspirate), 기관지 흡인물(bronchial aspirate), 활액(synovial fluid), 관절 흡인물(joint aspirate), 기관 분비물(organ secretions), 세포(cell), 세포 추출물(cell extract) 또는 뇌척수액(cerebrospinal fluid)을 포함할 수 있으나, 이에 제한되는 것은 아니다.

[0021] 본 발명의 상기 유전자가 존재하는 수준의 측정은 프라이머를 이용하여 상기 유전자를 증폭시키거나, 형광 등으로 표지된 프로브와 상보적으로 결합하는 등의 통상의 방법을 통해 확인될 수 있는 것이고, 예를 들면, 중합효소연쇄반응(polymerase chain reaction), 형광상관분석법(fluorescence correlation spectroscopy), 마이크로어레이(microarray) 및 칩어세이(chip-assay)으로 이루어진 군으로부터 선택되는 적어도 하나일 수 있으나, 이에 제한되는 것은 아니다. 상기 프라이머 또는 프로브는 상기 유전자의 염기 서열을 참조하여 당해 기술 분야에서 통상의 지식을 가진 자가 공지의 방법에 따라 쉽게 제작할 수 있다.

[0022] 본 발명의 상기 단백질이 존재하는 수준의 측정은 상기 단백질에 특이적인 항체 또는 앱타머를 이용하여 통상의 방법을 통해 확인될 수 있는 것이고, 예를 들면 웨스턴 븍릿 분석(Western blot assay), ELISA(Enzyme linked immunosorbent assay), 방사선면역분석(RIA: Radioimmunoassay), 방사 면역 확산법(Radioimmundiffusion), 오우크테로니(Ouchterlony) 면역 확산법, 로켓 면역전기영동(Rocket immunoelectrophoresis), 면역조직화학 염색법(Immunohistochemical staining), 면역침전 분석법(Immunoprecipitation Assay), 보체 고정 분석법(Complement Fixation Assay), 면역형광법(Immunofluorescence), 면역크로마토그래피법(Immunochromatography), FACS(Fluorescenceactivated cell sorter analysis) 및 단백질 칩 분석법(protein chip technology assay)으로 이루어진 군으로부터 선택되는 적어도 하나일 수 있으나, 이에 제한되는 것은 아니다. 상기 항체 또는 프라이머는 상기 단백질의 아미노산 서열을 참조하여 당해 기술 분야에서 통상의 지식을 가진 자가 공지의 방법에 따라 쉽게 제작할 수 있다.

[0023] 본 발명의 상기 암은 바람직하게는 악성 비뇨기암(Urological cancer)일 수 있으나, 이에 제한되는 것은 아니다.

[0024] 본 발명의 상기 악성 암이란, 동시 전이(Synchronous metastasis), 재발(Recurrence) 및 암으로 인한 사망률(Cancer-specific death) 증가 중 적어도 하나가 발생된 암을 의미하며, 상기 동시 전이는 일차성(Primary) 암 진단 시 또는 진단으로부터 3개월 이내에 전이된 것을 의미한다.

[0025] 본 발명의 상기 비뇨기암은 비뇨기의 암으로서, 방광암, 전립선암, 요관암 및 신장암으로 구성된 군으로부터 선택되는 적어도 하나인 것일 수 있고, 바람직하게는 신장암일 수 있으며, 더욱 바람직하게는 투명세포형 신세포암(Clear cell renal cell carcinoma; ccRCC)일 수 있으나, 이에 제한되는 것은 아니다.

[0026] 본 발명의 상기 신장암은 조직학적 분류에 따른 세포형에 따라 투명세포형 신세포암과 비 투명신세포암(Non-

clear renal cell carcinoma)로 분류된다. 상기 투명세포형 신세포암은 전체 신장암의 70-80%를 차지하며, 암 세포 주위의 혈관이 풍부하고 다른 장기로의 전이를 잘 일으키는 특징을 갖는다. 반면, 비 투명신세포암의 경우, 암 세포 주위의 혈관이 풍부하지 않으나, 짊은 연령 층에서 다발성으로 발생된다는 특징을 갖는다. 본 발명의 상기 방법은 조직 검사를 받기 이전 또는 조직 검사와 함께 상기 암의 조직학적 분류에 따른 종류를 구별해 낼 수 있고, 이를 통해 진단 당시 암 환자에게 최적의 치료 방법을 제공할 수 있다는 장점을 갖는다.

[0027] 본 발명의 상기 투명세포형 신세포암은 종양의 크기가 7cm 이하인 것일 수 있으나, 이에 제한되는 것은 아니다. 상기 투명세포형 신세포암의 종양 크기가 7cm 보다 작은 초기 단계에서는 비 수술적 치료 방법, 예를 들면 동결 절제(Cryoablation), 고주파 열치료(Radiofrequency ablation)등이 적절하게 사용될 수 있다. 따라서, 본 발명의 목적상 상기와 같은 비 수술적 치료 방법에 의해서 충분한 치료 효과를 볼 수 없는 15%의 암, 특히 악성 비뇨기암 환자를 선별해 낼 수 있다.

[0028] 본 발명의 상기 미리 설정된 방법은 하기 식 1 내지 4로 구성된 군으로부터 선택되는 적어도 하나의 식을 통해 위험 점수를 산출하는 것일 수 있다.

[식 1]

$$\text{위험 점수} = 1/[1 + \exp(-(A1 - A2 \times (\text{PBRM1_norm}) - A3 \times (\text{BAP1_norm})))]$$

[식 2]

$$\text{위험 점수} = 1/[1 + \exp(-(B1 - B2 \times (\text{PBRM1_norm}) - B3 \times (\text{FOXC2_norm})))]$$

[식 3]

$$\text{위험 점수} = 1/[1 + \exp(-(C1 - C2 \times (\text{BAP1_norm}) - C3 \times (\text{FOXC2_norm})))]$$

[식 4]

$$\text{위험 점수} = 1 / [1 + \exp(-(\text{D1} - \text{D2} \times (\text{FOXC2_norm}) - \text{D3} \times (\text{PBRM1_norm}) - \text{D4} \times (\text{BAP1_norm})))]$$

[0042] 본 발명의 상기 식 1 내지 4에서, PBRM1_norm은 (*PBRM1*의 유전자 또는 이에 의해 암호화되는 단백질의 발현 수준)/0.06, BAP1_norm은 (*BAP1*의 유전자 또는 이에 의해 암호화되는 단백질의 발현 수준)/0.005, FOXC2_norm은 (*FOXC2*의 유전자 또는 이에 의해 암호화되는 단백질의 발현 수준)/0.096일 수 있다.

[0043] 본 발명의 일 실시예에서, 상기 유전자의 발현 수준은 상기 *FOXC2*, *PBRM1* 및 *BAP1*의 유전자를 상기 유전자들 각각에 특이적인 프라이머 쌍을 이용하여 qRT-PCR을 수행한 뒤, 항존 유전자, 예를 들면 GAPDH, α -tubulin 또는 β -actin 등의 발현량에 대한 상대적인 비율 값으로 나타낼 수 있다. 또한, 본 발명의 다른 실시예에서, 상기 단백질의 발현 수준은 *FOXC2*, *PBRM1* 및 *BAP1* 단백질 각각에 특이적인 항체를 이용하여 웨스턴 븍로 등을 수행한 뒤, 항존 유전자, 예를 들면 GAPDH, α -tubulin 또는 β -actin 등의 발현량에 대한 상대적인 비율 값으로 나타낼 수 있다.

[0044] 본 발명의 상기 식 1에서, 상기 A1은 -1.5 내지 -0.9일 수 있고, 바람직하게는 -1.3 내지 -1.0, 더욱 바람직하게는 -1.2 내지 -1.05일 수 있으나, 이에 제한되는 것은 아니다. 또한, 상기 A2는 0.7 내지 1.1일 수 있고, 바람직하게는 0.8 내지 1.0, 더욱 바람직하게는 0.9 내지 1.0일 수 있으나, 이에 제한되는 것은 아니다. 또한, 상기 A3는 0.3 내지 0.7일 수 있고, 바람직하게는 0.4 내지 0.6일 수 있으며, 더욱 바람직하게는 0.5 내지 0.6일 수 있으나, 이에 제한되는 것은 아니다. 본 발명의 일 실시예에서는 상기 [식 1]에서 A1이 -1.097, A2가 0.963 및 A3이 0.524인 경우 *PBRM1* 및 *BAP1* 유전자 또는 이에 의해 암호화되는 단백질의 발현 수준을 이용하여 암, 특히 악성 투명세포형 신세포암을 효과적으로 진단할 수 있음을 확인하였다.

[0045] 본 발명의 상기 식 2에서, 상기 B1은 -1.5 내지 -0.9일 수 있고, 바람직하게는 -1.3 내지 -1.0, 더욱 바람직하게는 -1.2 내지 -1.05일 수 있으나, 이에 제한되는 것은 아니다. 또한, 상기 B2는 0.6 내지 1.0일 수 있고, 바람직하게는 0.7 내지 0.9일 수 있고, 더욱 바람직하게는 0.8 내지 0.9일 수 있으나, 이에 제한되는 것은 아니다. 또한, 상기 B3는 0.1 내지 0.5일 수 있고, 바람직하게는 0.2 내지 0.4일 수 있으며, 더욱 바람직하게는 0.3 내지 0.4일 수 있으나, 이에 제한되는 것은 아니다. 본 발명의 일 실시예에서는 상기 [식 2]에서 B1이 -1.100, B2가 0.894, B3이 0.340인 경우, *PBRM1* 및 *FOXC2* 유전자 또는 이에 의해 암호화되는 단백질의 발현 수준을 이용하여 암, 특히 악성 투명세포형 신세포암을 효과적으로 진단할 수 있음을 확인하였다.

[0046] 본 발명의 상기 식 3에서, 상기 C1은 -1.5 내지 -0.9일 수 있고, 바람직하게는 -1.3 내지 -1.0, 더욱 바람직하

계는 -1.2 내지 -1.05일 수 있으나, 이에 제한되는 것은 아니다. 또한, 상기 C2는 0.3 내지 0.7일 수 있고, 바람직하게는 0.4 내지 0.6일 수 있으며, 더욱 바람직하게는 0.5 내지 0.6일 수 있으나, 이에 제한되는 것은 아니다. 또한, 상기 C3는 0.3 내지 0.7일 수 있고, 바람직하게는 0.4 내지 0.6일 수 있으며, 더욱 바람직하게는 0.5 내지 0.6일 수 있으나, 이에 제한되는 것은 아니다. 본 발명의 일 실시예에서는 상기 [식 3]에서 C1이 -1.11, C2가 0.533, C3이 0.562인 경우 BAP1 및 FOXC2 유전자 또는 이에 의해 암호화되는 단백질의 밸런스 수준을 이용하여 암, 특히 악성 투명세포형 신세포암을 효과적으로 진단할 수 있음을 확인하였다.

[0047] 본 발명의 상기 식 4에서, 상기 D1은 -1.5 내지 -0.9일 수 있고, 바람직하게는 -1.0 내지 -1.3, 더욱 바람직하게는 -1.05 내지 -1.2일 수 있으나, 이에 제한되는 것은 아니다. 또한, 상기 D2는 0.1 내지 0.5일 수 있고, 바람직하게는 0.2 내지 0.4일 수 있으며, 더욱 바람직하게는 0.3 내지 0.4일 수 있으나, 이에 제한되는 것은 아니다. 또한, 상기 D3는 0.6 내지 1.0일 수 있고, 바람직하게는 0.7 내지 0.9일 수 있고, 더욱 바람직하게는 0.8 내지 0.9일 수 있으나, 이에 제한되는 것은 아니다. 또한, 상기 D4는 0.2 내지 0.8일 수 있고, 바람직하게는 0.3 내지 0.7일 수 있으며, 더욱 바람직하게는 0.4 내지 0.6일 수 있으나, 이에 제한되는 것은 아니다. 본 발명의 또 다른 실시예에서는 상기 [식 4]에서 D1이 -1.082, D2가 0.336, D3이 0.887, D4가 0.521인 경우 FOXC2, PBRM1 및 BAP1 유전자 또는 이에 의해 암호화되는 단백질의 밸런스 수준을 이용하여 암, 특히 악성 투명세포형 신세포암을 진단함에 있어, 상기 [식 1] 내지 [식 3]에 비하여 더욱 효과적으로 진단할 수 있음을 확인하였다.

[0048] 본 발명의 상기 A 내지 D의 각 계수 값이 하한 값 미만에 해당하거나, 상한 값을 초과하는 경우에는 이와 같은 식을 통해 도출된 위험 점수를 사용하여 암, 특히 악성 투명세포형 신세포암을 진단하는데 만족할만한 정확도 값을 얻지 못할 수 있다.

[0049] 본 발명의 상기 위험 점수는 판단하고자 하는 개체가 암에 해당할 확률(P)를 의미하는 것으로서, 이를 통해 암을 진단해낼 수 있다.

[0050] 본 발명의 상기 방법은 상기 위험 점수가 0.2 이상인 경우, 바람직하게는 0.2 내지 1, 보다 바람직하게 0.5 내지 1, 또는 0.7 내지 1인 경우 암으로 분류하는 단계를 더 포함할 수 있다. 바람직하게는 상기 위험 점수가 0.2 내지 1인 경우, 악성 비뇨기암으로 진단할 수 있다. 즉, 본 발명에서 상기 위험 점수가 0.2 이상이면 암이 악성, 즉 전이, 재발 또는 암으로 인한 사망률 증가의 확률이 높을 것으로 예측할 수 있다.

[0051] 본 발명의 상기 미리 설정된 방법은 딥 러닝 분석(Deep learning analysis) 일 수 있다.

[0052] 본 발명의 상기 딥 러닝 분석은 딥뉴럴네트워크(Deep neural networks; DNN), 딥콘볼루션뉴럴네트워크(Deep convolutional neural networks), 딥신뢰뉴럴네트워크(Deep belief networks; DBN) 및 순환뉴럴네트워크(Recurrent neural networks; RNN)로 구성된 군으로부터 선택되는 적어도 하나를 사용하여 복수의 데이터를 바탕으로 판단을 수행할 수 있는 시스템 또는 네트워크일 수 있고, 바람직하게는 딥뉴럴네트워크일 수 있으나, 이에 제한되는 것은 아니다.

[0053] 본 발명의 상기 딥뉴럴네트워크는 하나 이상의 컴퓨터 내에 하나 이상의 층(Layer)를 구축하여 복수의 데이터를 바탕으로 판단을 수행하는 것으로서, 예를 들어, 딥뉴럴네트워크는 컨볼루션 폴링 층(Convolutional Pooling Layer), 로컬 접속 층(Locally-connected layer) 및 완전 연결 층(Fully-connected layer)을 포함하는 층들의 세트로 구현될 수 있다. 컨볼루션 폴링 층 또는 로컬 접속 층은 영상 내 특징들을 추출하도록 구성 될 수 있다. 완전 연결 층은 영상의 특징 간의 상관 관계를 결정할 수 있다. 본 발명의 목적상 상기 딥뉴럴네트워크는 첫번째 층이 시그모이드(Sigmoid)로, 두번째 층이 정류된 선형 유닛(Rectified linear unit)으로 설정된 것일 수 있으나, 이에 제한되는 것은 아니다.

[0055] 본 발명의 다른 구현 예에서는 암 진단에 관한 정보 제공 장치를 제공한다.

[0056] 도 3을 참조하면, 본 발명의 상기 암 진단에 관한 정보 제공 장치는 버스(B)를 통해 연결되는 프로세서(110), 메모리(120), 입력부(130), 출력부(140), 스토리지(150) 및 네트워크 인터페이스(160)가 포함된다.

[0057] 본 발명의 상기 암은 바람직하게는 악성 비뇨기암(Urological cancer)일 수 있으나, 이에 제한되는 것은 아니다.

[0058] 본 발명의 상기 악성 암이란, 동시 전이(Synchronous metastasis), 재발(Recurrence) 및 암으로 인한 사망률(Cancer-specific death) 증가 중 적어도 하나가 발생된 암을 의미하며, 상기 동시 전이는 일차성(Primary) 암 진단 시 또는 진단으로부터 3개월 이내에 전이된 것을 의미한다.

[0059] 본 발명의 상기 비뇨기암은 비뇨기의 암으로서, 방광암, 전립선암, 요관암 및 신장암으로 구성된 군으로부터 선

택되는 적어도 하나인 것일 수 있고, 바람직하게는 신장암일 수 있으며, 더욱 바람직하게는 투명세포형 신세포암(Clear cell renal cell carcinoma; ccRCC)일 수 있으나, 이에 제한되는 것은 아니다.

[0060] 본 발명의 상기 신장암은 조직학적 분류에 따른 세포형에 따라 투명세포형 신세포암과 비 투명신세포암(Non-clear renal cell carcinoma)로 분류된다. 상기 투명세포형 신세포암은 전체 신장암의 70-80%를 차지하며, 암 세포 주위의 혈관이 풍부하고 다른 장기로의 전이를 잘 일으키는 특징을 갖는다. 반면, 비 투명신세포암의 경우, 암 세포 주위의 혈관이 풍부하지 않으나, 짧은 연령 층에서 다발성으로 발생된다는 특징을 갖는다. 본 발명의 상기 방법은 조직 검사를 받기 이전 또는 조직 검사와 함께 상기 암의 조직학적 분류에 따른 종류를 구별해 낼 수 있고, 이를 통해 진단 당시 암 환자에게 최적의 치료 방법을 제공할 수 있다는 장점을 갖는다.

[0061] 본 발명의 상기 투명세포형 신세포암은 종양의 크기가 7cm 이하인 것일 수 있으나, 이에 제한되는 것은 아니다. 상기 투명세포형 신세포암의 종양 크기가 7cm 보다 작은 초기 단계에서는 비 수술적 치료 방법, 예를 들면 동결 절제(Cryoablation), 고주파 열치료(Radiofrequency ablation) 등이 적절하게 사용될 수 있다. 따라서, 본 발명의 목적상 상기와 같은 비 수술적 치료 방법에 의해서 충분한 치료 효과를 볼 수 없는 15%의 암 환자를 선별해 낼 수 있다.

[0063] 이하, 본 발명의 상기 장치의 각 구성에 대해 자세히 설명한다.

프로세서(110)

[0066] 본 발명의 상기 프로세서(110)는 미리 설정된 방법에 의해 위험 점수를 산출하는 산출부(111)를 포함한다. 상기 프로세서(110)는 중앙처리장치 (CPU)로 구현되거나 또는 메모리(120) 및/또는 스토리지(150)에 저장된 명령어들에 대한 처리를 실행하는 반도체 장치로 구현될 수 있다.

[0067] 본 발명의 상기 산출부(111)에 미리 설정된 방법은 하기 식 1 내지 4로 구성된 군으로부터 선택되는 적어도 하나의 식을 통해 위험 점수를 산출하는 것일 수 있다.

[0069] [식 1]

$$\text{위험 점수} = 1/[1 + \exp(-(A1 - A2 \times (\text{PBRM1_norm}) - A3 \times (\text{BAP1_norm})))]$$

[0072] [식 2]

$$\text{위험 점수} = 1/[1 + \exp(-(B1 - B2 \times (\text{PBRM1_norm}) - B3 \times (\text{FOXC2_norm})))]$$

[0075] [식 3]

$$\text{위험 점수} = 1/[1 + \exp(-(C1 - C2 \times (\text{BAP1_norm}) - C3 \times (\text{FOXC2_norm})))]$$

[0078] [식 4]

$$\text{위험 점수} = 1 / [1 + \exp(-(\text{D1} - \text{D2} \times (\text{FOXC2_norm}) - \text{D3} \times (\text{PBRM1_norm}) - \text{D4} \times (\text{BAP1_norm})))]$$

[0081] 본 발명의 상기 식 1 내지 4에서, PBRM1_norm은 (*PBRM1*의 유전자 또는 이에 의해 암호화되는 단백질의 발현 수준)/0.06, BAP1_norm은 (*BAP1*의 유전자 또는 이에 의해 암호화되는 단백질의 발현 수준)/0.005, FOXC2_norm은 (*FOXC2*의 유전자 또는 이에 의해 암호화되는 단백질의 발현 수준)/0.096일 수 있다.

[0082] 본 발명의 일 실시예에서, 상기 유전자의 발현 수준은 상기 *FOXC2*, *PBRM1* 및 *BAP1*의 유전자를 상기 유전자들 각각에 특이적인 프라이머 쌍을 이용하여 qRT-PCR을 수행한 뒤, 항존 유전자, 예를 들면 GAPDH, α -tubulin 또는 β -actin 등의 발현량에 대한 상대적인 비율 값으로 나타낼 수 있다. 또한, 본 발명의 다른 실시예에서, 상기 단백질의 발현 수준은 *FOXC2*, *PBRM1* 및 *BAP1* 단백질 각각에 특이적인 항체를 이용하여 웨스턴 블로트 등을 수행한 뒤, 항존 유전자, 예를 들면 GAPDH, α -tubulin 또는 β -actin 등의 발현량에 대한 상대적인 비율 값으로 나타낼 수 있다.

[0083] 본 발명의 상기 식 1에서, 상기 A1은 -1.5 내지 -0.9일 수 있고, 바람직하게는 -1.3 내지 -1.0, 더욱 바람직하게는 -1.2 내지 -1.05일 수 있으나, 이에 제한되는 것은 아니다. 또한, 상기 A2는 0.7 내지 1.1일 수 있고, 바람직하게는 0.8 내지 1.0, 더욱 바람직하게는 0.9 내지 1.0일 수 있으나, 이에 제한되는 것은 아니다. 또한, 상기 A3는 0.3 내지 0.7일 수 있고, 바람직하게는 0.4 내지 0.6일 수 있으며, 더욱 바람직하게는 0.5 내지 0.6일 수 있으나, 이에 제한되는 것은 아니다. 본 발명의 일 실시예에서는 상기 [식 1]에서 A1이 -1.097, A2가 0.963 및 A3이 0.524인 경우 *PBRM1* 및 *BAP1* 유전자 또는 이에 의해 암호화되는 단백질의 발현 수준을 이용하여 암, 특

히 악성 투명세포형 신세포암을 효과적으로 진단할 수 있음을 확인하였다.

[0084] 본 발명의 상기 식 2에서, 상기 B1은 -1.5 내지 -0.9일 수 있고, 바람직하게는 -1.3 내지 -1.0, 더욱 바람직하게는 -1.2 내지 -1.05일 수 있으나, 이에 제한되는 것은 아니다. 또한, 상기 B2는 0.6 내지 1.0일 수 있고, 바람직하게는 0.7 내지 0.9일 수 있고, 더욱 바람직하게는 0.8 내지 0.9일 수 있으나, 이에 제한되는 것은 아니다. 또한, 상기 B3는 0.1 내지 0.5일 수 있고, 바람직하게는 0.2 내지 0.4일 수 있으며, 더욱 바람직하게는 0.3 내지 0.4일 수 있으나, 이에 제한되는 것은 아니다. 본 발명의 일 실시예에서는 상기 [식 2]에서 B1이 -1.100, B2가 0.894, B3이 0.340인 경우, *PBRM1* 및 *FOXC2* 유전자 또는 이에 의해 암호화되는 단백질의 발현 수준을 이용하여 암, 특히 악성 투명세포형 신세포암을 효과적으로 진단할 수 있음을 확인하였다.

[0085] 본 발명의 상기 식 3에서, 상기 C1은 -1.5 내지 -0.9일 수 있고, 바람직하게는 -1.3 내지 -1.0, 더욱 바람직하게는 -1.2 내지 -1.05일 수 있으나, 이에 제한되는 것은 아니다. 또한, 상기 C2는 0.3 내지 0.7일 수 있고, 바람직하게는 0.4 내지 0.6일 수 있으며, 더욱 바람직하게는 0.5 내지 0.6일 수 있으나, 이에 제한되는 것은 아니다. 또한, 상기 C3는 0.3 내지 0.7일 수 있고, 바람직하게는 0.4 내지 0.6일 수 있으며, 더욱 바람직하게는 0.5 내지 0.6일 수 있으나, 이에 제한되는 것은 아니다. 본 발명의 일 실시예에서는 상기 [식 3]에서 C1이 -1.11, C2가 0.533, C3이 0.562인 경우 *BAP1* 및 *FOXC2* 유전자 또는 이에 의해 암호화되는 단백질의 발현 수준을 이용하여 암, 특히 악성 투명세포형 신세포암을 효과적으로 진단할 수 있음을 확인하였다.

[0086] 본 발명의 상기 식 4에서, 상기 D1은 -1.5 내지 -0.9일 수 있고, 바람직하게는 -1.0 내지 -1.3, 더욱 바람직하게는 -1.05 내지 -1.2일 수 있으나, 이에 제한되는 것은 아니다. 또한, 상기 D2는 0.1 내지 0.5일 수 있고, 바람직하게는 0.2 내지 0.4일 수 있으며, 더욱 바람직하게는 0.3 내지 0.4일 수 있으나, 이에 제한되는 것은 아니다. 또한, 상기 D3는 0.6 내지 1.0일 수 있고, 바람직하게는 0.7 내지 0.9일 수 있고, 더욱 바람직하게는 0.8 내지 0.9일 수 있으나, 이에 제한되는 것은 아니다. 또한, 상기 D4는 0.2 내지 0.8일 수 있고, 바람직하게는 0.3 내지 0.7일 수 있으며, 더욱 바람직하게는 0.4 내지 0.6일 수 있으나, 이에 제한되는 것은 아니다. 본 발명의 또 다른 실시예에서는 상기 [식 4]에서 D1이 -1.082, D2가 0.336, D3이 0.887, D4가 0.521인 경우 *FOXC2*, *PBRM1* 및 *BAP1* 유전자 또는 이에 의해 암호화되는 단백질의 발현 수준을 이용하여 암, 특히 악성 투명세포형 신세포암을 진단함에 있어, 상기 [식 1] 내지 [식 3]에 비하여 더욱 효과적으로 진단할 수 있음을 확인하였다.

[0087] 본 발명의 상기 A 내지 D의 각 계수 값이 하한 값 미만에 해당하거나, 상한 값을 초과하는 경우에는 이와 같은식을 통해 도출된 위험 점수를 사용하여 암, 특히 악성 투명세포형 신세포암을 진단하는데 만족할만한 정확도 값을 얻지 못할 수 있다.

[0088] 본 발명의 상기 위험 점수는 판단하고자 하는 개체가 암, 특히 악성 암에 해당할 확률(P)를 의미하는 것으로서, 이를 통해 암을 진단해낼 수 있다.

[0089] 본 발명의 상기 위험 점수는 상기 식 1 내지 4를 통해, 판단하고자 하는 개체가 암에 속할 확률(P)를 의미하는 것으로서, 이를 통해 암을 진단해낼 수 있다.

[0090] 본 발명의 상기 산출부는 상기 위험 점수가 0.2 이상인 경우, 바람직하게는 0.2 내지 1, 보다 바람직하게 0.5 내지 1, 또는 0.7 내지 1인 경우 암으로 분류하는 단계를 더 포함할 수 있다. 바람직하게는 상기 위험 점수가 0.2 내지 1인 경우, 악성 비뇨기암으로 진단할 수 있다. 즉, 본 발명에서 상기 위험 점수가 0.2 이상이면 암이 악성, 즉 전이, 재발 또는 암으로 인한 사망률 증가의 확률이 높을 것으로 예측될 수 있다.

[0091] 본 발명의 산출부(111)에 미리 설정된 방법은 딥 러닝 분석 방법일 수 있다.

[0092] 본 발명의 상기 딥러닝 분석 방법은 딥뉴럴네트워크, 딥콘볼루션뉴럴네트워크, 딥신뢰뉴럴네트워크 및 순환뉴럴네트워크로 구성된 군으로부터 선택되는 적어도 하나를 사용하여 복수의 데이터를 바탕으로 판단을 수행할 수 있는 시스템 또는 네트워크일 수 있고, 바람직하게는 딥뉴럴네트워크일 수 있으나, 이에 제한되는 것은 아니다.

[0093] 본 발명의 상기 딥뉴럴네트워크는 하나 이상의 컴퓨터 내에 하나 이상의 층(Layer)를 구축하여 복수의 데이터를 바탕으로 판단을 수행하는 것으로서, 예를 들어, 심층신 경망은 컨볼루션 폴링 층, 로컬 접속 층 및 완전 연결 층을 포함하는 층들의 세트로 구현될 수 있다. 컨볼루션 폴링 층 또는 로컬 접속 층은 영상 내 특징들을 추출하도록 구성 될 수 있다. 완전 연결 층은 영상의 특징 간의 상관 관계를 결정할 수 있다. 본 발명의 목적상 상기 딥뉴럴네트워크는 첫번째 층이 시그모이드로, 두번째 층이 정류된 선형 유닛으로 설정된 것일 수 있으나, 이에 제한되는 것은 아니다.

[0094] 메모리(120)

[0095] 본 발명의 상기 메모리(120)는 상기 프로세서(110)의 동작을 위한 프로그램을 저장할 수 있고, 입/출력되는 데 이터들을 임시 저장할 수도 있다. 이러한 메모리(120)는 ROM(Read Only Memory)(121) 및 RAM(Random Access Memory)(122) 등을 포함할 수 있다.

[0096] 입력부(130)

[0097] 본 발명의 입력부(130)는 목적하는 개체로부터 분리된 생물학적 시료에서, *FOXC2*, *PBRM1* 및 *BAP1*으로 구성된 군으로부터 선택되는 2종 이상의 유전자 또는 이에 의해 암호화되는 단백질이 존재하는 수준이 측정된 값이 사용자의 조작에 의해 입력됨으로써 데이터가 발생되는 것일 수 있다. 상기 입력부(130)는 키패드, 터치패드, 또는 조그 스위치 등의 사용자 인터페이스로 구현될 수 있으나, 이에 제한되는 것은 아니다.

[0098] 본 발명의 상기 *FOXC2* 유전자 또는 이에 의해 암호화되는 단백질은, *FOXC2* 유전자는 출생 전 배아의 기관과 조직의 형성에 중요한 역할을 하는 전사인자 단백질인 *FOCX2* 단백질(forkhead-related protein FKHL14), 전사인자 FKHL14, MFH1(mesenchyme fork head protein 1))을 암호화하는 것으로서, 유방암의 경우 상기 *FOXC2* 유전자에 의해 암호화되는 단백질의 발현이 증가되는 경우 유방암의 전이를 유도할 수 있다는 보고가 존재한다. 본 발명의 목적상 상기 *FOXC2* 유전자 또는 이에 의해 암호화되는 단백질은 비뇨기암에서 유방암에서와 달리, 세포 사이클이 잘못되는 경우를 체크하는 역할을 수행하는 것으로, 이와 같은 유전자 또는 이에 의해 암호화되는 단백질의 발현이 감소되었을 때 비뇨기암의 전이, 재발 및/또는 암으로 인한 사망률이 높아지는 것일 수 있다.

[0099] 본 발명의 상기 *PBRM1* 유전자 또는 이에 의해 암호화되는 단백질은, ATP-의존성 크로마틴-리모델링 복합체의 서브유닛을 암호화하는 유전자로서, 이와 같은 유전자에 의해 암호화된 단백질은 핵 호르몬 수용체에 의한 리간드의존성 전화 활성화에 필요한 복합체의 필수 성분에 해당한다.

[0100] 본 발명의 상기 *BAP1* 유전자 또는 이에 의해 암호화되는 단백질은, 유비퀴틴 카르복실-말단 가수분해 효소 BAP1(ubiquitin carboxyl-terminal hydrolase BAP1)을 암호화하는 유전자로서, 상기 효소는 탈유비퀴틴화 효소로서 작용하여 다양한 세포 과정에 관여하는 많은 단백질의 기능을 조절하는데 도움을 주는 역할을 한다.

[0101] 본 발명의 상기 장치에서 상기 측정의 대상이 되는 유전자 또는 이에 의해 암호화되는 단백질은 *FOXC2*, *PBRM1* 및 *BAP1*으로 구성된 군으로부터 선택되는 2종 이상을 포함하는 것일 수 있고, 바람직하게는 *FOXC2*, *PBRM1* 또는 *BAP1* 중 어느 하나 이상을 포함하는 것일 수 있고, 더욱 바람직하게는 상기 *FOXC2*, *PBRM1* 및 *BAP1*를 모두 포함하는 것일 수 있으나, 이에 제한되는 것은 아니다. 이와 같이 상기 *FOXC2*, *PBRM1* 및 *BAP1*를 모두 포함하는 경우에는 각각 개개의 유전자 또는 이에 의해 암호화되는 단백질을 측정하는 경우에 비하여 예측 정확도를 현저하게 높일 수 있다.

[0102] 본 발명의 상기 유전자가 존재하는 수준의 측정은 프라이머를 이용하여 상기 유전자를 증폭시키거나, 형광 등으로 표지된 프로브와 상보적으로 결합하는 등의 통상의 방법을 통해 확인될 수 있는 것이고, 예를 들면, 중합효소연쇄반응(polymerase chain reaction), 형광상관분석법(fluorescence correlation spectroscopy), 마이크로어레이(microarray) 및 칩어세이(chip-assay)으로 이루어진 군으로부터 선택되는 적어도 하나일 수 있으나, 이에 제한되는 것은 아니다. 상기 프라이머 또는 프로브는 상기 유전자의 염기 서열을 참조하여 당해 기술 분야에서 통상의 지식을 가진 자가 공지의 방법에 따라 쉽게 제작할 수 있다.

[0103] 본 발명의 상기 단백질이 존재하는 수준의 측정은 상기 단백질에 특이적인 항체 또는 앱타머를 이용하여 통상의 방법을 통해 확인될 수 있는 것이고, 예를 들면 웨스턴 블럿 분석(Western blot assay), ELISA(Enzyme linked immunosorbent assay), 방사선면역분석 (RIA: Radioimmunoassay), 방사 면역 확산법(Radioimmunodiffusion), 오우크테로니(Ouchterlony) 면역 확산법, 로켓 면역전기영동(Rocket immunoelectrophoresis), 면역조직화학 염색법(Immunohistochemical staining), 면역침전 분석법(Immunoprecipitation Assay), 보체 고정 분석법(Complement Fixation Assay), 면역형광법(Immunofluorescence), 면역크로마토그래피법(Immunochromatography), FACS(Fluorescenceactivated cell sorter analysis) 및 단백질 칩 분석법(protein chip technology assay)으로 이루어진 군으로부터 선택되는 적어도 하나일 수 있으나, 이에 제한되는 것은 아니다. 상기 항체 또는 프라이머는 상기 단백질의 아미노산 서열을 참조하여 당해 기술 분야에서 통상의 지식을 가진 자가 공지의 방법에 따라 쉽게 제작할 수 있다.

[0104] 표시부(140)

[0105] 본 발명의 상기 표시부(140)는 상기 산출부로부터 전송 받은 값에 따라 발생되는 데이터를 표시한다. 상기 산출부에서 위험 점수가 0.2 이상인 경우, 바람직하게는 0.2 내지 1, 보다 바람직하게 0.5 내지 1, 또는 0.7 내지 1

인 경우에 해당하여 암으로 분류된 경우, 상기 표시부에 암으로 표시될 수 있다. 바람직하게는 상기 위험 점수가 0.2 이상인 경우 악성 비뇨기암으로 표시될 수 있으나, 이에 제한되는 것은 아니다.

[0106] 본 발명의 상기 표시부(140)는 디스플레이 및 스피커 등의 출력수단으로 구성될 수 있으나, 이에 제한되는 것은 아니다.

스토리지(150)

[0108] 본 발명의 상기 스토리지(150)는 상기 메모리(120)와 같이 다양한 종류의 회발성 또는 비회발성 저장매체를 포함할 수 있다. 상기 스토리지(150)는 인터넷(Internet)상에서 메모리(120)의 저장 기능을 수행하는 웹 스토리지(Web storage)로 구현될 수 있으나, 이에 제한되는 것은 아니다.

네트워크 인터페이스(160)

[0110] 본 발명의 상기 네트워크 인터페이스(160)는 네트워크를 통해 다른 단말기와 유무선 통신을 수행할 수 있게 한다. 상기 네트워크 인터페이스(160)는 무선 인터넷, 이동 통신, 및 근거리 통신 등의 통신기술 중 어느 하나 이상을 사용할 수 있으나, 이에 제한되는 것은 아니다.

[0112] 본 발명의 또 다른 구현 예에서는 암 치료제 스크리닝 방법을 제공한다.

[0113] 본 발명의 상기 스크리닝 방법은 암 개체로부터 분리된 생물학적 시료에, 후보물질을 처리하는 단계; 상기 후보물질이 처리된 생물학적 시료에서 *FOXC2*, *PBRM1* 및 *BAP1*으로 구성된 군으로부터 선택되는 2종 이상의 유전자 또는 이에 의해 암호화되는 단백질이 존재하는 수준을 측정하는 단계; 및 상기 상기 유전자 또는 상기 단백질이 존재하는 수준의 측정된 값을 미리 설정된 방법에 적용하여 위험 점수를 산출하는 단계;를 포함한다.

[0114] 본 발명의 상기 스크리닝 방법은 상기 후보물질을 처리하기 이전의 위험 점수에 비하여, 후보물질을 처리한 이후의 위험 점수가 낮은 경우, 처리된 후보물질을 암 치료제로 선별하는 단계가 더 포함될 수 있다.

[0115] 본 발명의 상기 스크리닝 방법에서, 암, 악성 암, 비뇨기암, 투명세포형 신세포암, *FOXC2*, *PBRM1* 및 *BAP1* 유전자 또는 이에 의해 암호화되는 단백질, 신장암, 측정 방법, 미리 설정된 방법, 생물학적 시료 및 위험 점수 등은 본 발명의 상기 진단 방법에서 기재한 바와 동일하여, 본 명세서의 과도한 복잡성을 피하기 위하여 생략한다.

[0116] 본 발명의 상기 후보물질은 암을 치료하기 위한 활성이 존재하는지 여부에 대해 테스트하기 위한 약제를 의미하며, 단백질, 올리고 펩타이드, 유기 분자, 다당류, 폴리뉴클레오티드 및 광범위한 화합물 등의 임의의 분자를 포함한다. 이러한 후보물질은 천연물질뿐만 아니라, 합성 물질도 모두 포함하는 것일 수 있다.

[서열 목록]

[0119] 서열번호 1: *FOXC2* 유전자

[0120] 1 gaaactttc ccaatcccta aaagggactt ggctcttt tctggctca gcggggcage

[0121] 61 cgctcgacc ccggcgcgct gaccctcggt gctgccgatt cgctggggc ttggagagcc

[0122] 121 tcctgcgccc ctccctcgcc gggccgaggg tccacctggg tccccaggcc gcggcgctc

[0123] 181 cgctgggtcc gcggccgccc gcctgcccgc gctgccgccc ccgggtcctg gagccagcga

[0124] 241 ggagcggggc cggcgctgct cttgccccgg ggcgcgcctc caggatgccg atccgcccgg

[0125] 301 tccgctgaaa gcgcgcgccc ctgctcgcc cgagcgccgc cgcccgcgca ccctcgcccc

[0126] 361 ggaggctgcc aggagccgg ggccgcctt cccgctcccc tcctctcccc ctctggctct

[0127] 421 ctgcgcgtct ctgcgtctca gggcccccct cgctcccccg ggcgcgtcc gtgcgcgagg

[0128] 481 ggcgcggcga gccgtctcg aagcagcatg caggcgct actccgtgtc cgacccaac

[0129] 541 gccctggag tggtgccta cctgagcgag cagaattact accggctgc gggcagctac

[0130] 601 ggcggcatgg ccagccccat gggcgctat tcggccacc cggagcgacta cagcgcgggg

[0131] 661 atggccgcgt cctacgcgcc ctaccaccac caccagcccg cggcgctaa ggacctgggtg

[0132] 721 aagccgccct acagctacat cgcgctcatc accatggcca tccagaacgc gcccgagaag
[0133] 781 aagatcacct tgaacggcat ctaccagttc atcatggacc gcttccctt ctaccggag
[0134] 841 aacaaggcagg gctggcagaa cagcatccgc cacaacctct cgctcaacga gtgcttcgtc
[0135] 901 aaggtgcccc gcgacgacaa gaagccggc aaggcagt actggaccct ggaccggac
[0136] 961 tcctacaaca tggtcgagaa cggcagcttc ctggcgcc ggcggcgctt caaaaagaag
[0137] 1021 gacgtgtcca aggagaagga ggagcgggcc cacctaagg agcccccggc ggcggcggtcc
[0138] 1081 aagggcgcgc cggccacccc ccacctagcg gacgccccca aggaggccga gaagaaggta
[0139] 1141 gtatcaaga gcgaggcggc gtcccccggc ctgcccgtca taccaaggt ggagacgctg
[0140] 1201 agccccgaga gcgcgcgtca gggcagcccc cgcaagcggc cctccacgccc cgccggctcc
[0141] 1261 cccgacggct cgctgcggc gcaccacgccc gcggcgcccc acggctgccc tggcttcagc
[0142] 1321 gtggagaaca tcatgaccct gcgaacgtcg ccggcggcgg gagagctgag cccggggccc
[0143] 1381 ggacgcgcgg gcctgggtgt gccggcgctg ggcgtgcct acggccgcgc gcccggccgc
[0144] 1441 gcctacggcc agccgtgcgc tcagggctg gagggcgggg ccggcgggggg ctaccagtgc
[0145] 1501 agcatgcgag ccatgagccct gtacaccggg gccgagcggc cggcgcacat gtgcgtcccg
[0146] 1561 cccggccctgg acgaggccct ctcggaccac ccgagcggcc ccacgtcgcc cctgagcgt
[0147] 1621 ctcaacctcg ccggcgccca ggagggcgcg ctcggcgccca cggggccacca ccaccagcac
[0148] 1681 cacggccacc accacccgca ggcggcgccg cccggccgg ctcccgagcc ccagccgacg
[0149] 1741 ccgcagcccg gggccgcgc ggcgcaggcg gcctcctggat atctcaacca cagcggggac
[0150] 1801 ctgaaccacc tccggccca cacgtcgcg gcccagcagc aaactttccc caacgtcg
[0151] 1861 gagatgttca actccaccc gctggggatt gagaactcga ccctcgaaaa gtcccgatgt
[0152] 1921 agtgttcaatg ccagctgcca gctgcctac agatccacgc cgcctctcta tgcgcacgca
[0153] 1981 gccccctact cctacgactg cacaaatac tgacgtgtcc cgggacctcc cctccggc
[0154] 2041 cgcgtccggc ttgcgttccc agcccgacc caaccagaca attaaggggc tgcagagacg
[0155] 2101 caaaaaagaa acaaaacatg tccaccaacc ttttcaga cccggggacca gagagcgggc
[0156] 2161 acgctagcccc ccagccgtct gtgaagagcg caggtaactt taattcgccg cccgtttct
[0157] 2221 gggatcccg gaaacccctc caaaggacg cagcccaaca aatgagttat tgatcttaaa
[0158] 2281 atccccctcc cctaccagga cggctgtgtc gtgcgtcgacc tgagtttca aaagttaatg
[0159] 2341 tatggaccaa atcccatagc gagccctag tgactttctg taggggtccc cataggtta
[0160] 2401 tgggggtctc tatagataat atatgtgtc tgttaattt taaatttctc caaccgtgt
[0161] 2461 gtacaaatgt gtggatttgt aatcaggcta ttttgttgg ttttgttgc ttcagagcca
[0162] 2521 ttaatataat atttaagtt gagttcactg gataagttt tcatttgtcc caaccatttc
[0163] 2581 taactgccaa attgaattca agaaaccgat gtgggttttgc tttccgtac aattatgaga
[0164] 2641 tataattttt tttccatttgc taggtttttt acaaaacaag aaaataattt attttttgt
[0165] 2701 tggggataa agaagtcaag tatctgatac tttttatataa caaagtgtga tgggggtgt
[0166] 2761 tagtaggttc caccctgactt attctaaaa gaaaaaaaaaaa aaaaagctt aaaaactcta
[0167] 2821 acttcatctg tggttgcgtt acgtgggtttt aatcgttgcgtt cttacctaa aataaacc

[0168] 2881 tgggtttt tctgccaaa
[0170] 서열번호 2: FOXC2 단백질
[0171] 1 mqarysvsdp nalgvvpyls eqnyyraags yggmaspmgv ysghpeqysa gmgrsyaphy
[0172] 61 hhqpaapkdl vkppysial itmaiqnape kkitlqiyq fimdrfpfyr enkqgwqnsi
[0173] 121 rhnlslnecf vkvprddkkp gkgsywldp dsynmfengs flrrrrfk kdvskkeer
[0174] 181 ahlkeppaa skgapatphl adapkeakkk vvikseaasp alpvitkvet lspesalqgs
[0175] 241 prsaastpag spdgslppeh aaapnglpgf svenimtlrt sppggelsgp agraglvpp
[0176] 301 lalpyaaapp aaygqpcqaq leagaaggyq csmramslyt gaerpahmcv ppaldealsd
[0177] 361 hpsgptspls alnlaaggqeg alaatghhhq hhghhpqap ppppapqpqp tpqpgaaaaq
[0178] 421 aaswylnhsg dlnhlpghtf aqqqtfnv remfnshrlg ienstlgesq vsgnascqlp
[0179] 481 yrstpplyrh aaptsydctk y
[0181] 서열번호 3: PBRM1 유전자
[0182] 1 gcacctgcgc gcagggacaa aggccacta cgggtcgaa actccccgcg ctccctttc
[0183] 61 ccgctcgctg cggggcagct tcaaagctgt caacgttcc ctcagtcgg aataccagt
[0184] 121 acagcttgcc aacacttgtt gtcacatgtg agcctcccac atgtattcac tctccattcc
[0185] 181 agctctgtga ttgaactctg ctcttattga cttagggca gtggcagg catgcctcat
[0186] 241 tcctggaatt gacagtattt cctaattttt gaatatacta acactgaatc agcacttcta
[0187] 301 aagcccttcc ttctccact ggcttcactt ggcttcaga cataatgagg agactggctt
[0188] 361 ttcgaggcgc tggttgtgct ctggtaaagc tgaagaagtt ggattccatg ggccaaga
[0189] 421 gaagaagagc tacctccct tccagcagtg tcagcggga ctttgatgat gggcaccatt
[0190] 481 ctgtgtcaac accaggccca agcagaaaa ggaggagact ttccaatctt ccaactgttag
[0191] 541 atcctattgc cgtgtccat gaactctata ataccatccg agactataag gatgaacagg
[0192] 601 gcagacttct ctgtgagctc ttcataggg caccaagcg aagaaatcaa ccagactatt
[0193] 661 atgaagtggc ttctcagccc attgacttga taaaaatcca acagaaacta aaaatggaag
[0194] 721 agtatgatga tggtaattt ctgactgctg acttccagct tcttttaac aatgcaaagt
[0195] 781 cctattataa gccagattct cctgaatata aagccgctt caaactctgg gatttgtacc
[0196] 841 ttcaacaag aatgagttt gttcagaaag gagaagcaga tgacgaagat gatgatgaag
[0197] 901 atggcaaga caatcaggc acagtgactg aaggatctc tccagttac ttttggaaa
[0198] 961 tcctggagca gcttcttga gccatagttt tagtacaaa tccatcagga cgtctcatta
[0199] 1021 gcgaactttt tcagaaactg cttctaaag tgcaatatcc agattattat gcaataatta
[0200] 1081 aggaggctat agatctcaag accattgccc agaggataca gaatggaagc tacaaaagta
[0201] 1141 ttcatgcaat ggccaaagat atagatctcc tcgcaaaaaaa tgccaaaact tataatgagc
[0202] 1201 ctggctctca agtattcaag gatgcaaatt caataaaaaa aatattttat ataaaaagg
[0203] 1261 ctgaaattga acatcatgaa atggctaagt caagtctcg aatgaggact ccatccaact
[0204] 1321 tggctgcagc cagactgaca ggtccac acagtaaagg cagccttggt gaagagagaa
[0205] 1381 atcccactag caagtattac cgtataaaaa gagcagtaca aggaggctgt ttatcagcaa

[0206] 1441 ttacaatggc acttcaatat ggctcagaaa gtgaagaaga tgctgctta gctgctgcac
 [0207] 1501 gctatgaaga gggagagtca gaagcagaaa gcatcacttc ctttatggat gttcaaattc
 [0208] 1561 ctttttatca gctttatgac acagtttagga gttgtcgaa taaccaaggg cagctaata
 [0209] 1621 ctgaacctt ttaccatttgc cttcaaaaga aaaaatacc tggattttac cagcaaatt
 [0210] 1681 aaatgccat atcactacaa cagatccgaa caaaaactgaa gaatcaagaa tatgaaactt
 [0211] 1741 tagatcattt ggagtgtgat ctgaatttaa tgttgaaaa tgccaaacgc tataatgtgc
 [0212] 1801 ccaattcagc catctacaag cgagttctaa aattgcagca agttatgcag gcaaagaaga
 [0213] 1861 aagagcttgc caggagagac gatatcgagg acggagacag catgatctt tcagccac
 [0214] 1921 ctgatactgg tagtgccaaa agaaaaagga acactcatga cagttagatg ttgggtctca
 [0215] 1981 ggaggctatc cagtaaaaag aacataagaa agcagcgaat gaaaatctt ttcaatgttig
 [0216] 2041 ttcttgaagc tcgagagcca gttcaggca gaagactttg tgacctattt atggtaaac
 [0217] 2101 catccaaaaa ggactatctt gattattata aatcatctt ggagccatg gacttggaaa
 [0218] 2161 taattgagca taacatccgc aatgacaaat atgctggta agaggaaatg atagaagaca
 [0219] 2221 tgaagctgat gttccggaaat gccaggact ataatgagga gggctccag gttataatg
 [0220] 2281 atgcacatat cctggagaag ttactcaagg agaaaaggaa agagctggc ccactgcctg
 [0221] 2341 atgatgatga catggcttct cccaaactca agctgagtag gaagagtggc atttctcc
 [0222] 2401 aaaaatcaaa atacatgact ccaatgcagc agaaactaaa tgaggtctat gaagctgtaa
 [0223] 2461 agaactatac tgataagagg ggtcccccc tcagtgccat atttctgagg ctccctct
 [0224] 2521 gatctgagtt gcctgactac tatctgacta taaaaagcc catggacatg gaaaaattc
 [0225] 2581 gaagtcacat gatggccaaac aagtaccaag atattgactc tatggttgag gactttgtca
 [0226] 2641 tggatgtttaa taatgcctgt acatacaatg agccggagtc ttgatctac aaagatgctc
 [0227] 2701 ttgttctaca caaagtccctg cttgaaacac gcagagacct ggaggagat gaggactctc
 [0228] 2761 atgtcccaa tggactttg ctgattcaag agcttacca caatctttt gtgtcagtc
 [0229] 2821 tgagtcatca ggtatgtgag ggaagatgct acagcgattc tttagcagaa attcctgctg
 [0230] 2881 tggatcccaa cttccctaaac aaaccacccc ttacatttga cataattagg aagaatgtt
 [0231] 2941 aaaataatcg ctaccgtcg cttgattttt ttcaagagca tatgttgaa gtattggAAC
 [0232] 3001 gagcaagaag gatgaatcg acagattcag aaatataatga agatcgatgaaatcg
 [0233] 3061 agtttttat taaaattcgt gatgaactct gaaaaatgg agagattttt cttcacccgg
 [0234] 3121 cactcagcta taccacaaaa cattgcata atgatgtgaa gaaagagaga aaggaaaaat
 [0235] 3181 tgccaaaaga aatagaggaa gataaactaa aacgagaaga agaaaaaaga gaagctgaaa
 [0236] 3241 agagtgaaga ttccctgtgt gctgcaggcc tctcaggctt acatgcaca tacagccagg
 [0237] 3301 actgttagctt taaaacacgc atgtaccatg ttggagatgatgatgtg gaaacctgcag
 [0238] 3361 aggccaaacct acaaccat atcgatgtta ttgaaagact gtggaggat tcaatgttgc
 [0239] 3421 aaaaatgggtt gtatggctgt tggtttacc gaccaaatga aacattccac ctggctacac
 [0240] 3481 gaaaatttctt agaaaaagaa tttttaaga gtgacttattt caacaaagtt ccagtttagt
 [0241] 3541 aaattcttagg caagtgtgtg gtcatgtttg tcaaggaata cttaagtt tgcccagaaa

[0242] 3601 acttccgaga tgaggatgtt tttgtctgt aatcacggta ttctgccaaa accaaatctt
 [0243] 3661 ttaagaaaaat taaactgtgg accatgccca tcagctcagt caggttgtc cctcggtat
 [0244] 3721 tgcctctgcc tgtgggtcgc gtggcctctg tatttgccaa tgcagataaa ggtgatgatg
 [0245] 3781 agaagaatac agacaactca gaggacagtc gagctgaaga caatttaac ttggaaaagg
 [0246] 3841 aaaaagaaga tgtccctgtg gaaatgtcca atggtaacc aggttgcac tactttgagc
 [0247] 3901 agctccatta caatgacatg tggtaagg ttggcgactg tgtcttcate aagtcccatt
 [0248] 3961 gcctgggtcgc tcctcggtg ggcagaattt aaaaagtatg ggttcgagat ggagctgcat
 [0249] 4021 atttttatgg ccccatcttc attcacccag aagaaacaga gcatgagccc aaaaaatgt
 [0250] 4081 tctacaaaaaa agaagtattt ctgagtaatc tggaaagaaac ctgccccatg acatgtattc
 [0251] 4141 tcggaaagtg tgctgtgtt tcattcaagg acttccttc ctgcaggcca actgaaatac
 [0252] 4201 cagaaaaatga cattctgtt tgtgagagcc gctacaatga gagcgcacaag cagatgaaga
 [0253] 4261 aattcaaagg attgaagagg ttttactct ctgctaaagt ggttagatgat gaaatttact
 [0254] 4321 acttcagaaaa accaattgtt ctcagaagg agccatcacc tttgctggaa aagaagatcc
 [0255] 4381 agttgctaga agctaaattt gccgagttag aaggtggaga ttagatgatatt gaagagatgg
 [0256] 4441 gagaagaaga tagtgaggc attgaacctc cttctctacc tcagttcag acccccctgg
 [0257] 4501 ccagttagt ggacctcatg ccctacacac ccccacagtc tacccaaag tctgccaaag
 [0258] 4561 gcagtgc当地 gaaggaaggc tccaaacgga aaatcaacat gagtggtac atcctgttca
 [0259] 4621 gcagttagat gagggtgtg attaaggccc aacacccaga ctactttc ggggagctca
 [0260] 4681 gccccttgtt ggggacagaa tggagaaatc ttgagacagc caagaaagca gaatatgaag
 [0261] 4741 gtgtgatgaa ccaaggagtg gcccctatgg tagggactcc agcaccaggt ggaagtccat
 [0262] 4801 atggacaaca ggtggagtt ttggggcctc cagggcagca ggcaccaccc ccatatcccg
 [0263] 4861 gcccacatcc agctggaccc cctgtcatac agcagccaaac aacacccatg tttgtgtc
 [0264] 4921 ccccacaaaa gacccagcgg cttttcaact cagaggccta cttgaaatac attgaaggac
 [0265] 4981 tcagtgc当地 gtccaaacagc attagcaagt gggatcagac actggcagct cgaagacgcg
 [0266] 5041 acgtccattt gtc当地 agaa caggagagcc gcctaccctc tcactggctg aaaagcaag
 [0267] 5101 gggcccacac caccatggca gatgcctct ggcgcctcg agatttgatg ctccggac
 [0268] 5161 ccctcaacat tcgccaagca tacaacctag aaaatgtta atcacatcat tacgttctt
 [0269] 5221 ttatataaaaa gcataaagag ttgtggatca gtatccattt tagttactgg ggggtgggggg
 [0270] 5281 aaggaacaaaa ggaggataat ttttattgca ttttactgtt catcacaagg ccattttat
 [0271] 5341 atacggacac tttaataag ctattcaat ttgtttgtt tattaaatgg actttatcaa
 [0272] 5401 atacacaag attttttgc atatgttcc ttgtttaaa accagttca taattgggt
 [0273] 5461 tatatgttata cttggagttt tatcttttta cttgttgc当地 tggaaactgaa accatttagag
 [0274] 5521 gttttgtct tggcttgggg tttttgtttt cttgggtttt ggttttttata tattatata
 [0275] 5581 taaaagaaca aaatgaaaaaa aaacacacac acacaagagt ttacagatta gttaaatig
 [0276] 5641 ataatgaaat gtgaagtttgc ttctgttta catcttagag aggggagttt acttgggtt
 [0277] 5701 gtttcatgtt cctgaatatc ttaagccact ttctgcaaaa gctgtttt acagatgaag

[0278] 5761 tgctttctt gaaagggtgt tatttaggtt ttagatgttt aatagacaca gcacattgc
 [0279] 5821 tctattaact cagaggctca ctacagaaat atgtaatcg tgctgtcat ctgtctcag
 [0280] 5881 ctaatgtacc tcctggacac caggagggaa aaaagcactt tttcaattgt gctgagttag
 [0281] 5941 acatctgtga gttagactat gggtcagtgt atttttcgt aacacgtca caaccctgag
 [0282] 6001 gtatgttaa tctaggcagg tacgttaag gatatttga tctattata atgaattcac
 [0283] 6061 aatttatgcc tataaatttc agatgattt aaattttaaa cctgttacat tgaaaaacat
 [0284] 6121 tgaagttcgt cttgaagaaa gcattaaggt atgcatggag gtgatttatt tttaaacata
 [0285] 6181 acacctaacc taacatgggt aagagagtat ggaactagat atgagctgta taagaagcat
 [0286] 6241 aattgtgaac aagtagattt attgcattca tatacaagta tgtttagta ttcatttattt
 [0287] 6301 cttattatc agatgttattt tttctttaa gttcaatgt tgttataatt ctcaaccaga
 [0288] 6361 aatttaatac tttctaaat attttttaaa tttagctgt gctttgaat tacaggagaa
 [0289] 6421 gggaaatcata atttaataaa acgcttacta gaaagaccat tacagatccc aaacacttgg
 [0290] 6481 gtttggtgac cctgtcttc ttatatgacc ctacaataaa catttgaagg cagcatagga
 [0291] 6541 tggcagacag taggaacatt gttcacttg gccgcattttt gttttttttt gctttatagt
 [0292] 6601 aactgggtga ttgcatttgt ggttagagctt ccactgctgt ttataatctg agagagttaa
 [0293] 6661 tctcagagga tgcttttc cttaatct gctatgaatc agtaccaga tgtttaattt
 [0294] 6721 ctgtacttat taaatcatga gggcaaaaga gtgttagatg gaaaaaaagtc tcttgtatct
 [0295] 6781 agatactta aatatgggag gcccttaac ttaattgcct ttagtcaacc actggatttg
 [0296] 6841 aatttgcattc aagtattta aataatattt aattttttttt aatgtattgc agtagtgtgt
 [0297] 6901 cagtagctta ttgttaagt gagttagata aatcttcaat tcctggctat ttggcaattt
 [0298] 6961 gaatcatcat ggactgtata atgcaatcg attttttgt ttcttagacat ctttgaattt
 [0299] 7021 caccaagaa catgaaattt agtttggtt aaattttttt ttatattcat gcatttattt
 [0300] 7081 tattccctt aaggcttggaa tgagacttct ttggggagcc tctaaaaaaa tttttactg
 [0301] 7141 gggccacgt gggcattttag aagccagacg tctccctccag gctccttccc agtgcctaga
 [0302] 7201 ggtgctatag gaaacataga tccagccagg ggcttcccta aagcagtgc gcaccggccc
 [0303] 7261 agggcatcac tagacaggcc ctaattaagt tttttttttt aagcctgtgt atttattttt
 [0304] 7321 gaatcatgtt ttctgtata ttaacttggg ggatatcggtt aatattttagg atataagatt
 [0305] 7381 tgaggtcagc catcttcaaa aaagaaaaaa aaattgactc aagaaagtac aagtaaacta
 [0306] 7441 tacacctttt tttcataatgtt tttaggaact gtagtaatgt ggcttagaaaa gtataatggc
 [0307] 7501 ctaaatgttt tcaaaatgtt agttccgtt gagaagaatt gtttatattt caaacgggggg
 [0308] 7561 gactgagggg aacctgttagg tttttttttt aatgtttttt agccacttgc tttttttttt
 [0309] 7621 cttaactgtt ttgggtgtt gttttttttt taagccactc tcccttccct atgaggaaga
 [0310] 7681 attgagaggg gcacccattttt ctgtttttttt cccaaattgg tggtgtatgtt tttttttttt
 [0311] 7741 aatgttttca tacctgatta aaacttgggtt tattctttaatt tctgtatcat atcatctgag
 [0312] 7801 gtttacgtgg taacttagtct tataacatgtt atgtatctt tttttttttt tcatctaaag
 [0313] 7861 ctttttttttt caaataaataa cagagtttgc aaagtgttggg ggtttttttttt ggggggggg

[0314] 7921 aaaaaaaaaaa

[0316] 서열번호 4: PBRM1 단백질

[0317] 1 mrr1afargag calvklkkld smgskrrrat spsssvsgdf ddghhsvstp gpsrkrrrls

[0318] 61 nlptvdpiav chelyntird ykdeqgrllc elfirapkrr nqpdyyevvs qpidlmkiqq

[0319] 121 klkmeeeyddv nlltadfql1 fnnaksyykp dspeykaack lwdlylrrtn efvqkgeadd

[0320] 181 eddedgqdn qgtvtegssp aylkeileql leaivvatnp sgrliselfq klpkskvqypd

[0321] 241 yyaiikepid lktiaqrinq gsyksihama kdidllakna ktynepgsqv fkdansikki

[0322] 301 fymkkiaeieh hemaksslrm rtpsnlaaar ltgpshskgs lgeernptsk yyrnkraavqg

[0323] 361 grlsaitmal qygseseeda alaaaryeeg eseaesitsf mdvsnpyql ydtvrscrnn

[0324] 421 qgqliaeapfy hlpsskkypd yyqqikmpis lqqirtklkn qeyetldhle cdlnlmfena

[0325] 481 krynvpsnsai ykrvlklqqv mqakkkelar rddiedgdsm issatsdtgs akrkrnths

[0326] 541 emglrrlss kknirkqrmk ilfnvlear epgsgr1cd 1fmvkpskdd ypdyykiile

[0327] 601 pmdlkiiehn irndkyagee gmiedmklmf rnarhyneeg sqvyndahil ekllkekrke

[0328] 661 lgplpdddmm aspklklsrk sgispkksky mtpmqkln e vyeavknytd krgrrlsaiif

[0329] 721 lrlpsrselp dyyltikkpm dmekirshmm ankyqdidsm vedfvmmfnn actynepesl

[0330] 781 iykdalvlhk vllerdrdle gdedshvpnv tliqelihn lfvsymshqd degrcysds

[0331] 841 aeipavdpnf pnkppltfdi irknvennry rrldlfqehm fevlerarrn nrtdseiyed

[0332] 901 avelqqffik irdelcknge illspalsyt tkhlhndvek erkeklpkei eedklkreee

[0333] 961 kreaekseds sgaaglsglh rtysqdcfsk nsmyhvgdyv yvepaeanlq phivcierlw

[0334] 1021 edsagekwly gcwfyrpnet fhlatrkfle kevfksdyyn kwpvskilgk cvvmfvkeyf

[0335] 1081 klcpenfrde dvfvcesrys aktsfkik lwtmmissvr fvprdvplv vrvasvfana

[0336] 1141 dkgddekntd nsedsraedn fnlekekedy pvemsngepg chyfeqlhyn dmwlkvgdcv

[0337] 1201 fikshglvrp rvgriekvwv rdgaayfygp ifihpeeteh eptkmfykke vflsnleetc

[0338] 1261 pmcticlgkca vlsfkdfslsc rpeipendi llcesrynes dkqmkkfkgl krfslsakvv

[0339] 1321 ddeiyyfrkp ivpqkepspl lekkiqllea kfaeleggdd dieemgeeds evieppslpq

[0340] 1381 lqtplaseld lmpytpqst pksakgsakk egskrkinms gyilfssemr avikaqhpd

[0341] 1441 sfgelsrlvg tewrnletak kaeyegvmnq gvapmvgtpha pggspgyqqv gvlgppgqqa

[0342] 1501 pppypgphpa gppviqqptt pmfvappkt qrllhseayl kyielaes nsiskwdqtl

[0343] 1561 aarrdvhls keqesrlpsh wlkskgahtt madalwrlrd lmrdtnir qaynlenv

[0345] 서열번호 5: BAP1 유전자

[0346] 1 gggtgacgca actggcccg ttgtctgtgt gtggactga gggccccgg gggcggtgg

[0347] 61 ggctcccggt gggggcagcgc gtggggagg aggccctgga catggcgctg agggccgc

[0348] 121 ccgcggaaatgaaagg gctggctgga gctggagagc gacccaggcc tcttcaccct

[0349] 181 gctcgtggaa gattcgttg tcaaggggt gcaagtggag gagatctacg accttcagag

[0350] 241 caaatgtcag ggcctgtat atggatttat cttctgttc aaatggatcg aagagcgccg

[0351] 301 gtcccgccga aaggctcta cttggtgga tgatacgtcc gtgattgatg atgatattgt

[0352] 361 gaataacatg ttctttgcc accagctgat acccaactct tgtgcaactc atgccttgct
[0353] 421 gagcgtgctc ctgaactgca gcagcgtgga cctgggaccc accctgagtc gcatgaagga
[0354] 481 cttcaccaag ggtttcagcc ctgagagcaa agatatgct attggcaatg ccccgaggtt
[0355] 541 ggccaaggcc cataatagcc atgccaggcc cgagccacgc cacctccctg agaagcagaa
[0356] 601 tggccttagt gcagtgcgga ccatggaggc gttccactt gtcagctatg tgcctatcac
[0357] 661 aggccggctc tttgagctgg atgggctgaa ggtctacccc attgaccatg ggccctgggg
[0358] 721 ggaggacgag gagtggacag acaaggcccc gcgggtcatc atggagcgt a tcggcctcgc
[0359] 781 cactgcaggg gagccctacc acgacatccg cttaaacctg atggcagtgg tgcccgaccg
[0360] 841 caggatcaag tatgaggcca ggctgcatgt gctgaaggtg aaccgtcaga cagtactaga
[0361] 901 ggctctgcag cagctgataa gagtaacaca gccagagctg attcagaccc acaagtctca
[0362] 961 agagtacag ctgcctgagg agtccaagtc agccagcaac aagtccccgc tggcgtgg
[0363] 1021 agcaaacagg gcccctgcag cctctgaggg caaccacaca gatggcgcag aggaggcggc
[0364] 1081 tggttcatgc gcacaagccc catcccacag ccctcccaac aaacccaagc tagtggtgaa
[0365] 1141 gcctccaggc agcagcccta atggggttca ccccaacccc actccattg tccagcggct
[0366] 1201 gcccgcctt ctagacaatc acaattatgc caagtcccc atgcaggagg aagaagacct
[0367] 1261 ggccgcagg gtggccgca gccgagttcc agtccgcaca ccccagcagt actcagatga
[0368] 1321 tgaggatgac tatgaggatg acgaggagga tgacgtgcag aacaccaact ctgccttag
[0369] 1381 gtataagggg aaggaaacag ggaagccagg ggcattgagc gttctgctg atggcaact
[0370] 1441 gtcagtgctg cagcccaaca ccatcaacgt ctggctgag aagctcaaag agtcccagaa
[0371] 1501 ggacctctca attcctctgt ccatcaagac tagcagcggg gctgggagtc cggctgtgg
[0372] 1561 agtgcacaca cactgcgcgc cctcacccac ccccagcaat gagagtacag acacggcctc
[0373] 1621 tgagatcggc agtgcattca actgcact ggcgtgcct atccgtcag ccaacccgac
[0374] 1681 gcccgcctt agccctgtca cctccacat ctccaagggtg cttttggag aggatgacag
[0375] 1741 cctgctgcgt gttgactgca tacgtacaa ccgtgcgtc cgtatctgg gtcctgtcat
[0376] 1801 cagcacaggc ctgctgcacc tggctgagga tgggtgtctg agtcccctgg cgctgacaga
[0377] 1861 gggggaaag gttccctcgc cctccatcg accaatccaa ggcagccagg ggtccagcag
[0378] 1921 cccagtgag aaggaggctg tggaaagccac ggacagcaga gagaagacgg ggatggtag
[0379] 1981 gcctggcgg cccttgatgt gggagaata ctccaccaag gagctgctgg cactgctgaa
[0380] 2041 gtgtgtggag gctgagattt caaatatga ggcgtgcctc aaggaggagg tagagaagag
[0381] 2101 gaagaagttc aagattgtatg accagagaag gacccacaac tacgtgatgt tcatctgcac
[0382] 2161 ctttatctcc atgctggctc aggaaggcat gctggccaa ctatggagc agaacatctc
[0383] 2221 cgtgcggcgg cgccaaagggg tcagcatcg ccggctccac aagcagcggg agcctgaccg
[0384] 2281 gggaaacgc tctgcgcctt acaaggccaa ggcgcgtga ggactgctgg ccctgactct
[0385] 2341 gcagccact cttgcgtgt ggccctcacc agggcttcc cctgccccac tttcccttt
[0386] 2401 cccagtttta ctgaatagtc ccagctggag agtccaggcc ctggaaatgg gaggaaccag
[0387] 2461 ggcacattcc ttccatgtc ccctgaggcc tgacacggca gatcagcccc atagtgtca

[0388] 2521 ggaggcagca tctggagttt gggcacagcg aggtactgca gtttcctcca cagccggctg
[0389] 2581 tggagcagca ggacctggcc ctctgcctg ggcagcagaa tatatattt acctatcaga
[0390] 2641 gacatctatt ttctggctt ccaacccaac atgccaccat gttgacataa gttcctac
[0391] 2701 gactatgcit tctctccat gagctgtctt ggtgggccc ggtccitgtt tcatgccac
[0392] 2761 gtcccaacta cagggtccta gctggggcc tgggtggcc ctgggtctg ggcctgctg
[0393] 2821 ctctagcccc agccaccagg ctgtccctgt tgtaaggaag ccaggcttc tctttcatt
[0394] 2881 cctcttagga gagtgccaaa ctcaaggacc cagcactggg ctgggttggg agtaggggt
[0395] 2941 cccagtgggg ttgggttag caggctgctg ggatcccatt gcctgagcag agcatgtgg
[0396] 3001 aactgttcag tggcctgtga actgtttcc ttgttctagc caggctgtt aagactgctc
[0397] 3061 tccatagcaa gttcttaggg ctcttcgcct tcagtgtgtt ggcctagct atggcctaa
[0398] 3121 attggctct aggtctctgt ccctggcgct tgaggcttag aagagectt gtccagcccc
[0399] 3181 tcagtattac catgtctccc tctcagggtt agcagagaca gggttgctt taggaagct
[0400] 3241 gcaccactca gctttctgt ctactccagt ttccctcagcc tctgcaaggc actcagggt
[0401] 3301 ggggacagca ggtcaagac aaccgttgg agccctgtt ttccagagga cctgatgcca
[0402] 3361 agggtaatg gcccagcag tgcctctgaa gcccaggccc caacacagcc ccatggcctc
[0403] 3421 tgccagatgg ctttggaaaaa ggtgatccaa gcaggccc ttatctgtac atagtgact
[0404] 3481 agtgggggt gctggcaagt gtggcagctg cctctggctt gaggcacagct tgaccctct
[0405] 3541 agccctgtt aatactggat caatgaatga ataaaactt cctaagaatc tcctgagaaa
[0407] 서열번호 6: BAP1 단백질
[0408] 1 mnkgwleles dpglftllve dfgvkgvqve eiydlqskcq gpvygfiflf kwieerrsrr
[0409] 61 kvstlvddts vidddivnnm ffahqlipns cathallsvl lncssvdlgp tlsmkdfk
[0410] 121 gfspeskgya ignapelaka hnsharpepr hlpkqngls avrtmeafhf vsyvpitgrl
[0411] 181 feldglkvyp idhgpwgdede ewtdkarrii meriglatag epyhdirfnl mavpdrrrik
[0412] 241 yearhlkv nrqtvlealq qlirvtqpel iqthksqesq lpeesksasn ksplvleanr
[0413] 301 apaasegnht dgaeaaagsc aqapshsppn kpklvvkppg sslnghpnp tpivqrlnaf
[0414] 361 ldnhnyaksp mqeedlaag vgrsrpvpr pqqysddedd yeddeeddvq ntnsalrykg
[0415] 421 kgtgkpgals gsadgqlsvl qpntinvlae klkesqkdls iplsiktssg agspavavpt
[0416] 481 hsqpsptpsn estdtaseig safnsplrsp irsanptrps spvtshiskv lfgeddsllr
[0417] 541 vdcirynrav rdlgpvistg llhlaedgvl splalteggk gsspsirpiq gsqgssspve
[0418] 601 kevveatdsr ektgmvrpge plsgekyspk ellallkcve aeianyeacl keevekrkkf
[0419] 661 kiddqrrthm ydefictfis mlaqegmlan lveqnisvrr rqgvsigrlh kqrkpdrkr
[0420] 721 srpykakrq

발명의 효과

[0421] 본 발명의 상기 방법 및 장치를 이용하는 경우 암과 관련성이 있는 유전자 또는 그에 의해 암호화되는 단백질을 독립변수로 하여 분석한 경우에 비하여, 그 정확도 및 AUC(Area under the curve) 값을 현저하게 증가시킬 수 있다. 나아가, 이를 통해 진단 당시에 암의 악성 여부를 예측함으로써, 환자 개개인에 특화되어 있는 치료방법

을 효과적으로 제공할 수 있다.

도면의 간단한 설명

[0422] 도 1 및 도 2는 본 발명의 일 실시예에 따른 암의 진단을 위한 정보를 제공하는 방법의 각 단계를 나타낸 것이다.

도 3은 본 발명의 일 실시예에 따른 암의 진단을 위한 정보 제공 장치의 모식도를 나타낸 것이다.

도 4는 본 발명의 일 실시예에 따른 면역조직화학염색 결과를 나타낸 것이다.

도 5는 본 발명의 일 실시예에 따른 유전자 발현 수준 값을 이용한 로지스틱 회귀 분석(Logistic regression analysis) 및 딥 러닝(Deep learning) 분석 방법에 대한 정확도(Accuracy) 및 AUC(Area under the curve) 값을 그래프로 나타낸 것이다.

도 6은 본 발명의 일 실시예에 따른 발현 수준 값을 이용한 로지스틱 회귀 분석 및 딥 러닝 분석 방법에 대한 정확도 및 AUC값을 그래프로 나타낸 것이다.

발명을 실시하기 위한 구체적인 내용

[0423] 이하, 실시예를 통하여 본 발명을 더욱 상세히 설명하고자 한다. 이를 실시예는 오로지 본 발명을 보다 구체적으로 설명하기 위한 것으로서, 본 발명의 요지에 따라 본 발명의 범위가 이를 실시예에 의해 제한되지 않는다는 것은 당업계에서 통상의 지식을 가진 자에게 있어서 자명할 것이다.

실시예

[0427] 하기 실시예는 연세대학교 헬스 시스템(프로젝트 번호: 4-2013-0742)의 기관 검토위원회에서 검토 및 승인되었다. 또한, 인간을 대상으로 한 연구에서 수행된 모든 절차는 헬싱키 선언의 원칙에 따라 수행되었다.

[준비예 1] 신세포암 환자 시료 및 데이터 수집

[0430] 연세대학교 의료원에서 2008년 1월부터 2014년 12월까지 근치적 신장절제술(Radical nephrectomy) 또는 신부분 절제술(Partial nephrectomy)을 받은 7cm 이하의 종양 크기를 갖는 투명세포형 신세포암(Clear cell renal cell carcinoma; 이하 'ccRCC'라 함) 환자 1,069명의 시료를 수집하였다. 시료는 절제술로만 치료를 받았으며, 종양 조직이 FFPE(formalin-fixed paraffin-embedded)으로 사용 가능한 경우에만 선별될 수 있도록 하였다. 재발 위험에 대한 영향, ccRCC의 대표성 저해 등을 배제하기 위해, 수술 전 보조요법(Neoadjuvant) 또는 보조제(Adjuvant)를 사용한 경우의 환자를 제외하였고, 폰힙펠 린도우병(Von Hippel-Lindau disease)이나 동시 또는 이원성의 양측성 신장암의 병력이 있는 환자를 제외하는 조건으로 악성 ccRCC 환자 시료를 선별하였다.

[0431] 나아가, 데이터 수집을 위해 영상이 존재하지 않거나, 수술 후 6개월 이내에 재발한 경우와, 단백질 또는 RNA 시료가 불충분하거나 실험에 적합하지 않은 경우의 환자를 제외하였다. 선별된 환자 시료의 데이터로부터 연령, 성별, 신장, 체중, 체질량 지수, 종양 크기 및 전이 유무에 대한 임상적 특징을 수집하였다. 악성 암의 경우, 동시 전이, 재발 또는 암 특이적 사망 증가를 나타내는 종양으로 정의하였으며, 동시 전이의 경우에는 일차성 비뇨기암 진단 시 또는 그 진단으로부터 3개월 이내에 전이된 것으로 정의하였다. 이렇게 선별된 초기 단계 ccRCC 177명 환자의 정보는 하기 표 1과 같다.

[0432] 또한, 연세대학교 의과대학 병리학교실(서울)로부터 ccRCC 환자의 FFPE(Formalin-fixed paraffin-embedded) 색션을 얻었다. 비뇨기과 병리학자가 상기 FFPE 색션에 해당하는 환자의 조직을 검토 및 분리하였다. 또한, 혜마톡실린(Haematoxylin) 및 에오신(eosin)에 의해 염색된 조직을 현미경을 이용하여 비뇨기과 병리학자가 비 종양 부분(Non-tumor elements)을 확인하였다.

표 1

구분		값
성별	남성	127 (71.8%)
	여성	50 (28.2%)
나이		58.5 ± 11.7
BMI (kg/m^2)		24.8 ± 3.6
근치적 수술, 명(%)		94 (53.1%)
종양 크기(cm)		4.1 ± 1.6

필면 등급 (Fuhrman grade)	1	8 (4.5%)
	2	79 (44.6%)
	3	81 (45.8%)
	4	9 (5.1%)
침습, 명(%)		11 (6.2%)
양성 입파절(Positive nodal status), 명 (%)		1 (1.0%)
동시 전이, 명(%)		19 (10.7%)
재발, 명(%)		23 (13.0%)
암 특이적 사망, 명(%)		30 (16.9%)
상기 값은 평균±표준편차(SD) 또는, 피시험자의 수로 표시되는 것임 침습: (신장 주위(perinephric)/부비강 지방(sinus fat)/혈관(vascular)) BMI: Body mass index		

[0435]

[실시예 1] 악성 ccRCC에서 유전자 발현 수준 변화 분석

[0437]

상기 준비예의 FFPD 섹션으로부터 추출된 시료에, 트리졸® 시약(Ambion, Life technologies)를 처리하여 전체 RNA(Total RNA)를 얻었다. 그런 다음, iNtRon Maxime RT PreMix(Intronbio. Cat No. 25081)를 사용하여 제조사가 제공하는 프로토콜에 따라, 1 μg의 전체 RNA를 cDNA로 합성하였다.

[0438]

10 μl 부피의 튜브에 5 μl의 SYBR® Green master PCR mix(Thermo Fisher, Cat No. A25742, USA), 10 pmol에 해당하는 1 μl의 센스 및 안티센스 프라이머(표 3)와 상기 cDNA 1 μl를 넣고, ABI StepOnePlus RT-PCR 시스템(Applied Biosystems)을 사용하여 qRT-PCR(Quantitative Real-Time polymerase chain reaction) 을 수행하였다. 여기서, 95°C에서 10분간 초기 변성, 95°C에서 15초간 변성, 58°C에서 60초간 어닐링, 72°C에서 60초간 연장되도록 하는 조건을 45 사이클 반복하였고, 최종 신장을 72°C에서 5분간 수행하였다. 2-ΔΔCT를 이용하여 GAPDH의 유전자 발현양을 통해 각각의 프라이머에 대한 유전자 발현을 상대적으로 정량화 하였다.

표 2

유전자	서열번호	구분	서열
FOXC2	서열번호 7	센스	5'- GAT CAC CTT GAA CGG CAT CT - 3'
	서열번호 8	안티센스	5'- ACC TTG ACG AAG CAC TCG TT - 3'
CLIP4	서열번호 9	센스	5'- GCA TCA TGC CAG GAA ATT CT - 3'
	서열번호 10	안티센스	5'- TTT GTT GGA CCT GAG GAA CC - 3'
PBRM1	서열번호 11	센스	5'- TGA TGG CCA ACA AGT ACC AA - 3'
	서열번호 12	안티센스	5'- AGA TCA AAG ACT CCG GCT CA - 3'
BAP1	서열번호 13	센스	5'- GCC TGA GGA GTC CAA GTC AG - 3'
	서열번호 14	안티센스	5'- CTG GAG GCT TCA CCA CTA GC - 3'
SETD2	서열번호 15	센스	5'- TCA CAA GGC AGA CTC AGT GG - 3'
	서열번호 16	안티센스	5'- CTG CTG TCT TGG GCT TTT TC - 3'
KDM5C	서열번호 17	센스	5'- GTC ATT TGC AAC CCC TGA GT - 3'
	서열번호 18	안티센스	5'- AAT GGG ATG AGG GGT AAA GG - 3'
GAPDH	서열번호 19	센스	5'- CAG CCT CAA GAT CAT CAG CA - 3'
	서열번호 20	안티센스	5'- GGT GCT AAG CAG TTG GTG GT - 3'

[0442]

각 유전자에 대한 발현 수준 변화 값을 이용하여 단변량 분석 및 로지스틱 회귀분석을 통해 통계 분석을 수행하였다. 단변량 분석에서 연속 변수를 비교하는데, t-검정(t-test)을 사용하였다. 상기 단변량 분석 결과에서 임상 결과와 유의한 상관관계가 있을 것으로 확인된 위험 요소를 모두 포함하도록 하여 로지스틱 회귀 분석(Logistic regression analysis)을 수행하여, 그 결과를 하기 표 3 및 4에 나타내었다. 여기서, 분석 결과 값은 연속 변수에 대한 평균 ± 표준편차(SD) 및 범주형 변수에 대한 백분율로 표시될 수 있도록 하였다.

표 3

위험 요소	악성 ccRCC(40명)	악성이 아닌 ccRCC(137명)	P value	
			단변량	다변량
성별	남	26 (65.0%)	101 (73.7%)	0.281

여	14 (35.0%)	36 (26.3%)		
나이	58.0 ± 11.3	58.7 ± 11.8	0.755	
BMI(kg/m ²)	25.2 ± 4.2	24.8 ± 3.4	0.520	
근치적 수술, 명(%)	29 (72.5%)	65 (47.4%)	0.005	0.023
종양 크기(cm)	4.4 ± 1.5	4.1 ± 1.7	0.241	
펄먼 등급	1	1 (2.5%)	7 (5.1%)	0.023
	2	12 (30.0%)	67 (48.9%)	
	3	22 (55.0%)	59 (43.1%)	
	4	5 (12.5%)	4 (2.9%)	
	3-4, vs 1-2	27 (67.5%)	63 (46.0%)	
침습, 명(%)	1 (2.5%)	10 (7.3%)	0.269	
양성 임파절	1 (2.5%)	0 (0.0%)	0.063	

[0446]

상기 표 3에서 보는 바와 같이, 위험 요소 중 성별, 나이, BMI, 종양의 크기, 양성 임파절의 경우에는 악성 ccRCC와 악성이 아닌 ccRCC 간의 유의미한 차이가 존재하지 않았다. 그러나, 단변량 분석 및 다변량 분석에서 근치적 수술의 경우, 악성 ccRCC와 악성이 아닌 ccRCC 간의 유의미한 차이점이 존재하였다. 또한, 펠먼 등급(3 내지 4)의 경우에도 악성이 아닌 경우에 비하여, 악성 ccRCC에서 유의미한 차이점이 존재하는 것을 확인하였다.

표 4

[0448]

위험 요소	유전자 발현 수준 변화		P value	
	악성 ccRCC(40명)	악성이 아닌 ccRCC(137명)	단변량	다변량
FOXC2	0.0033 ± 0.0057	0.0074 ± 0.0169	0.018	0.034
CLIP4	0.0042 ± 0.0055	0.0088 ± 0.0169	0.008	0.499
PBRM1	0.0008 ± 0.0014	0.0051 ± 0.0124	<0.001	0.036
SETD2	0.0003 ± 0.0003	0.0004 ± 0.0007	0.092	
BAP1	0.0001 ± 0.0001	0.0002 ± 0.0005	0.004	0.015
KDM5C	0.0016 ± 0.0015	0.0030 ± 0.0094	0.350	

[0450]

상기 표 4에서 보는 바와 같이, 단변량 분석을 통해 악성이 아닌 ccRCC에 비하여, FOXC2, CLIP4, PBRM1 및 BAP1 유전자 각각의 경우, 악성 ccRCC에서 낮은 수준으로 발현되는 것을 확인하였다. 반면, 다변량 분석에서 FOXC2, PBRM1 및 BAP1만이 독립적으로 악성 ccRCC와 유의미한 상관관계(P value<0.05)가 있음으로 확인되었다.

[0451]

본 발명의 상기 결과를 통해, 상기 유전자들의 발현 수준을 이용하는 경우 악성 ccRCC를 예측할 수 있음을 알 수 있다. 특히, FOXC2 유전자의 경우 세포 사이클이 잘못되는 경우를 체크하는 역할을 하는 것이므로, 이와 같은 유전자의 발현이 감소되었을 때, ccRCC가 악성 예후를 나타내도록 하는 것임을 예측할 수 있다.

[0453]

[실시예 2] 악성 ccRCC에서 단백질 발현 수준 확인

[0454]

상기 준비예 1의 FFPE 시료를 4μm 두께로 절단하고, 절단된 시료를 Superfrost Plus 현미경 슬라이드 (Thermo Fisher Scientific)에 올려놓은 뒤, EZ Prep (Ventana)을 이용하여 75°C에서 8분 동안 탈파라핀화 하였다. 그런 다음, 상기 슬라이드를 세포 컨터셔닝 용액(높은 pH CC1 standard)에 넣고, 100°C에서 60 분간 반응시켜 항원 회수를 수행하였다. 이후, 상기 슬라이드를 FOXC2, BAF1 및 BAP1에 특이적인 항체와 함께 37°C에서 32분 동안 배양하고, 반응 완충액(pH 7.6)으로 세척한 뒤에 2차 항체(유니버설 HRP 멀티머)를 넣고 37°C에서 8분 동안 추가로 배양하였다.

[0455]

배양이 완료된 상기 슬라이드에 기질(DAB 및 H₂O₂)을 넣고 8분동안 상온에서 배양한 뒤, 카운터 염색 시약인 헤마토실린(Hematoxylin) II 및 블루잉 용액(Bluing reagent)으로 염색하고, 추가적으로 세척하였다. 광학 현광현미경을 이용하여 세척이 완료된 슬라이드를 100배 내지 400배의 배율로 염색 강도를 측정하여, 그 결과를 도 1에 나타내었다.

[0456]

도 4에서 보는 바와 같이, 악성이 아닌 ccRCC 조직에 비하여, 악성 ccRCC 조직에서 FOXC2, PBRM1 및 BAP1 단백질의 발현 수준이 현저하게 감소되어 있는 것을 확인하였다.

[0458]

[실시예 3] FOXC2, PBRM1 및 BAP1의 발현을 이용한 로지스틱 회귀 및 딥러닝 모델 설정

[0459] [3-1] 로지스틱 회귀 분석 모델 설정

FOXC2, *PBRM1* 및 *BAP1*의 유전자 또는 이에 의해 암호화되는 단백질의 발현 수준에 대한 조합에 따른 로지스틱 회귀분석 모델을 테스트하기 위하여, 하기 식 1 내지 4를 도출하였다. 여기서, 위험 점수는 악성 ccRCC에 해당하는지 여부를 확인할 수 있는 것으로 정의하였고, *PBRM1_norm*은 (*PBRM1*의 유전자 또는 이에 의해 암호화되는 단백질의 발현 수준)/0.06, *BAP1_norm*은 (*BAP1*의 유전자 또는 이에 의해 암호화되는 단백질의 발현 수준)/0.005, *FOXC2_norm*은 (*FOXC2*의 유전자 또는 이에 의해 암호화되는 단백질의 발현 수준)/0.096에 해당하도록 하였다.

[식 1]

$$\text{위험 점수} = 1/[1 + \exp(-(-1.097 - 0.963 \times (\text{PBRM1_norm}) - 0.524 \times (\text{BAP1_norm})))]$$

[식 2]

$$\text{위험 점수} = 1/[1 + \exp(-(-1.100 - 0.894 \times (\text{PBRM1_norm}) - 0.340 \times (\text{FOXC2_norm})))]$$

[식 3]

$$\text{위험 점수} = 1/[1 + \exp(-(-1.114 - 0.533 \times (\text{BAP1_norm}) - 0.562 \times (\text{FOXC2_norm})))]$$

[식 4]

$$\text{위험 점수} = 1 / [1 + \exp(-(-1.082 - 0.336 \times (\text{FOXC2_norm}) - 0.887 \times (\text{PBRM1_norm}) - 0.521 \times (\text{BAP1_norm})))]$$

상기 식 1의 AUC(Area under the curve)는 0.714, 정확도(Accuracy)는 0.537이었고, 컷오프 값은 0.247으로 확인되었고, 상기 식 2의 AUC는 0.532, 정확도는 0.463이었고, 컷오프 값은 0.248로 확인되었으며, 상기 식 3의 AUC는 0.597, 정확도는 0.519이었고, 컷오프 값은 0.244로 확인되었다. 또한, 상기 식 4의 AUC는 0.555, 정확도는 0.651이었고, 컷오프 값은 0.249195로 확인되었다.

[0476] [3-2] 딥 러닝 모델 설정

상기 [3-1]에서 사용된 *FOXC2*, *PBRM1* 및 *BAP1*의 정규화된 값들을 각각 아래의 식 5를 이용하여 0 내지 1의 변수 범위에 해당하는 일반화 수치(Normalized value; z)로 변환하였다.

[식 5]

$$\{Z = [x - \min(x)] / [\max(x) - \min(x)]\}$$

상기 [식 5]에서, x는 유전자 또는 이에 의해 암호화되는 단백질이 존재하는 수준의 값을 의미한다.

177명의 ccRCC 환자 데이터 세트를 무작위로 두개의 독립적인 교육 그룹 및 검증 그룹으로 나누어 내부 검증 테스트를 수행하였다. 상기 교육 그룹은 전체 데이터 세트의 약 70%(악성 ccRCC 28명 및 악성이 아닌 ccRCC 95명)로 구성될 수 있도록 하여, 분석 모델을 도출하는데 사용하였다. 상기 검증 그룹은 상기 교육 그룹의 나머지 약 30%(악성 ccRCC 12명 및 악성이 아닌 ccRCC 42명)로 구성될 수 있도록 하여, 도출된 분석 모델의 성능을 평가하는데 사용하였다.

[0484] TensorFlow (버전 1.8.0) 백엔드가있는 Python 라이브러리 Keras (버전 2.2.0)를 사용하는 DNN(Deep neural network)를 선택하여 상기 분석 모델이 심층 학습될 수 있도록 하였다. 데이터 관리 및 전처리를 위해, scikit-learn 라이브러리 (<http://scikit-learn.org/>)를 사용하였고, 상기 분석 모델에서 발생되는 오버피팅(Overfitting) 문제를 해소하기 위해, 30% 드롭아웃 속도의 2개의 층(Layer) DNN 네트워크를 사용하였다. 상기 2층 DNN 네트워크에서, 첫번째 층을 시그모이드(Sigmoid)로, 두번째 층을 정류된 선형 유닛(Rectified linear unit)으로 설정 하였다.

상기 분석 모델은 2진 교차 엔트로피 손실 함수가 있는 Adam 최적화 알고리즘을 사용하여 최적화 될 수 있도록 하였으며, 500 에포치(Epoch) 및 30 배치 크기를 선택하였다.

[0487] [3-3] 로지스틱 회귀 모델과 딥 러닝 모델을 이용한 분석 비교

상기 [3-1] 및 [3-2]에서 사용된 악성 ccRCC를 예측하기 위해 설정된 로지스틱 회귀 모델과 딥 러닝 모델의 성능을 비교분석 하여, 그 결과를 하기 표 5와, 도 5 및 6에 나타내었다.

표 5

	로지스틱 회귀 모델	딥 러닝 모델
정확도	0.555	0.537
AUC	0.651	0.736

[0491] 상기 표 5와, 도 5 및 6에서 보는 바와 같이, *FOXC2*, *PBRM1* 및 *BAP1*의 유전자 또는 이에 의해 암호화되는 단백질의 발현 수준에 대한 조합에 따른 로지스틱 회귀분석 모델과, 딥 러닝 모델 모두에서 정확도 및 AUC 값이 높은 것을 확인하였다.

[0492] 상기 결과를 통해 본 발명에 따른 *FOXC2*, *PBRM1* 및 *BAP1*의 유전자 또는 이에 의해 암호화되는 단백질의 발현 수준에 대한 조합을 위험 요소로 포함하는 로지스틱 회귀분석 모델뿐만 아니라, 딥 러닝 모델 모두를 이용하는 경우, 악성 ccRCC를 매우 효과적으로 예측할 수 있음을 알 수 있다.

[0493]

[0494] 이상으로 본 발명의 특정한 부분을 상세히 기술하였는 바, 당업계의 통상의 지식을 가진 자에게 있어서 이러한 구체적인 기술은 단지 바람직한 구현 예일 뿐이며, 이에 본 발명의 범위가 제한되는 것이 아닌 점은 명백하다. 따라서, 본 발명의 실질적인 범위는 첨부된 청구항과 그의 등가물에 의하여 정의된다고 할 것이다.

부호의 설명

[0495]

110: 프로세서

111: 산출부

120: 메모리

121: ROM

122: RAM

130: 입력부

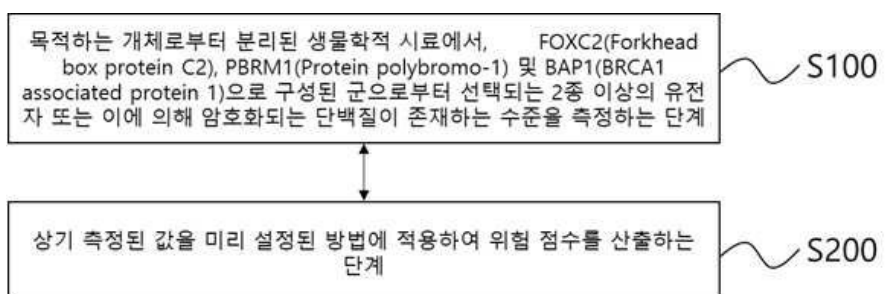
140: 출력부

150: 스토리지

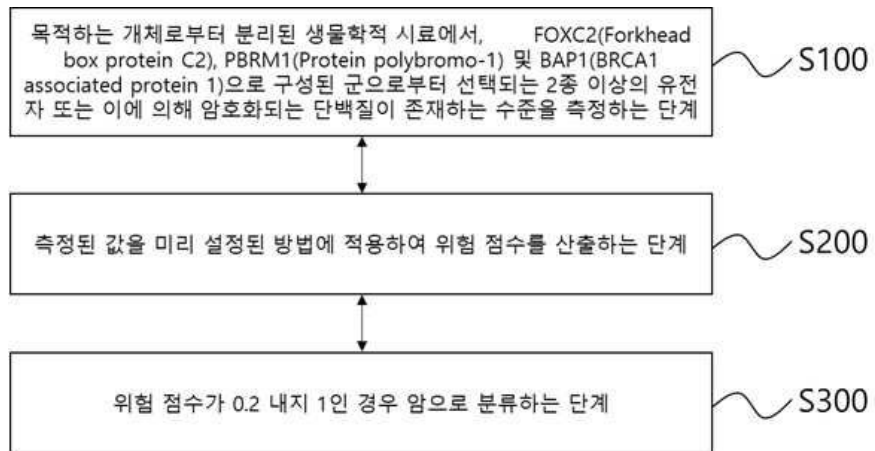
160: 네트워크인터페이스

도면

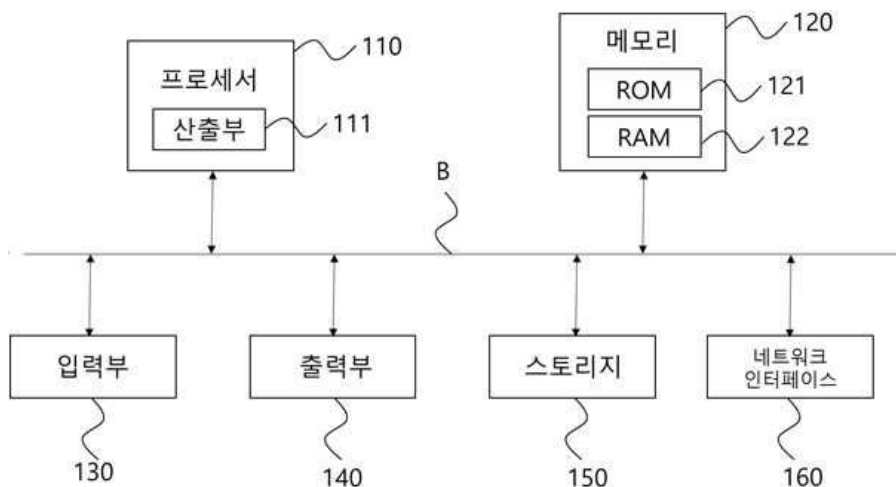
도면1



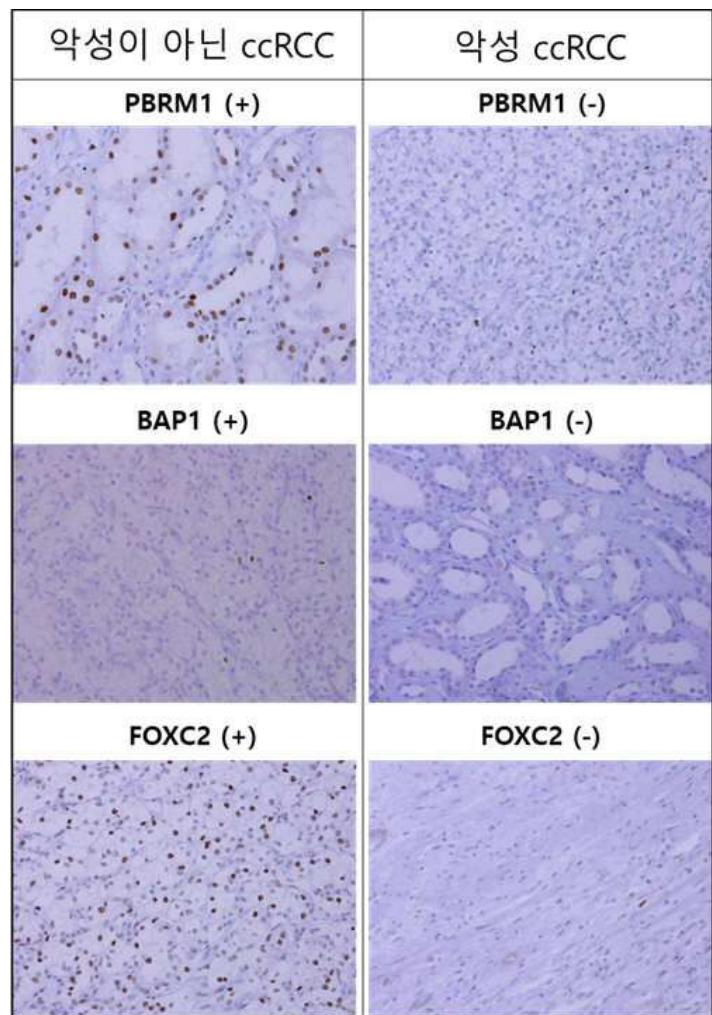
도면2



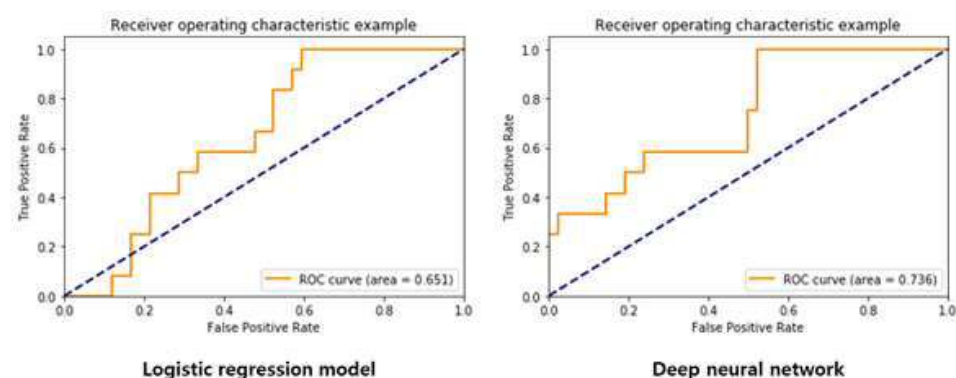
도면3



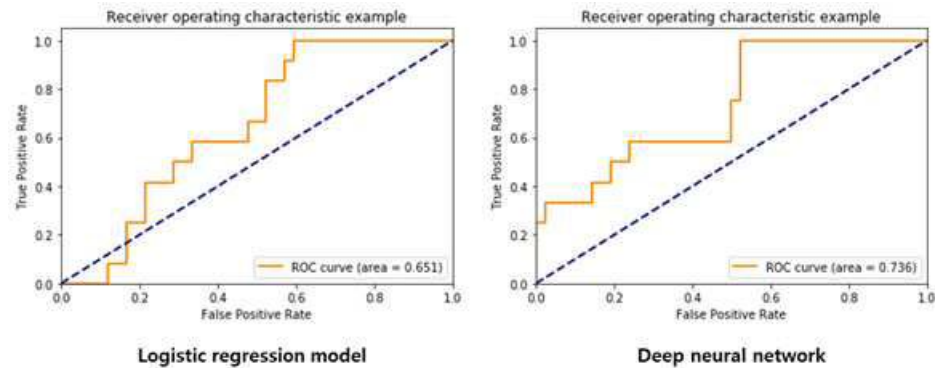
도면4



도면5



도면6



서열 목록

<110> Industry-Academic Cooperation Foundation, Yonsei University

<120> A method of providing information for diagnosing cancer

<130> PDPB187344

<160> 20

<170> KoPatent In 3.0

<210> 1

<211> 2900

<212> DNA

<213> Homo sapiens

<400> 1

gaaactttc ccaatcccta aaagggactt ggcctttt tctggctca gcggggcagc	60
---	----

cgctcgacc ccggcgcgct gaccctcggt gctgccatt cgctggggc ttggagagcc	120
--	-----

tcctcgcccc ctccctcgcc gggccgaggg tccacctggg tccccaggcc gcggcgctc	180
--	-----

cgctgggtcc gcggccgccc gcctgcccgc gctgcccgcc cggtcctg gagccagcga	240
---	-----

ggagcggggc cggcgctcgcttggccgg ggcgcgcctc caggatgccg atccggccgg	300
--	-----

tccctgaaaa ggcgcgcgcctc tgctcgcccg agccgcgcgc cgcgcgcgc ccctcgcccc	360
--	-----

ggaggctgcc agggcccg ggccgcctt cccgtcccccc tccctcccccc ctctggctct	420
--	-----

ctcgctctct ctccgtctca gggcccccct cgctcccccg gccgcagtcc gtgcgcgagg	480
---	-----

gcgcggcgca gccgtctcgaa gacgacatg caggcgct actccgtgtc cgacccaaac	540
---	-----

gccctggag tggtgcccta cctgagcgag cagaattact accggctgc gggcagctac	600
---	-----

ggcgccatgg ccagccccat gggcgcttat tccggccacc cggagcagta cagcgccggg	660
---	-----

atggggccgt cctacgcgcc ctaccaccac caccagcccg cggcgctaa ggacctggtg	720
--	-----

aagccgcct acagctacat cgcgctcatc accatggcca tccagaacgc gcccgagaag	780
--	-----

aagatcacct tgaacggcat ctaccagttc atcatggacc gttccctt ctaccggag	840
aacaaggcagg gctggcagaa cagcatccgc cacaacctct cgctcaacga gtgcttcgtc	900
aagggtcccc gcgacgacaa gaagcccgcc aaggcagtt actggaccct ggaccggac	960
tcctacaaca tggcagttc ctgcggcgcc ggccgcgtt caaaaagaag	1020
gacgtgtcca aggagaagga ggagcgggcc caccctaagg agccgcccc ggcggcgtcc	1080
aagggcggcc cggccacccc ccaccttagcg gacgccccca aggaggccga gaagaaggtg	1140
gtgatcaaga gcgaggcggc gtccccggcg ctgcggtca tcaccaaggt ggagacgctg	1200
agccccgaga gcgcgctgca gggcagcccg cgcagcggc cctccacgcc cgccggctcc	1260
cccgacggct cgctggcggc gcaccacgcc gcggcgcaca acggcgtgcc tggcttcagc	1320
gtggagaaca tcatgaccct gcgaacgtcg ccgcggcgcc gagagcttag cccggggcc	1380
ggacgcgcgg gcctgggtt ggcgcgtcg gcgcgtccct acgcgcgcgc gcccggcc	1440
gcctacggcc accgtgcgc tcaaggcctg gaggccggg ccgcggggg ctaccagtgc	1500
agcatgcgag cgtggccct gtacaccggg gccgagcggc cggcgcacat gtgcgtcccg	1560
cccgccctgg acgaggccct ctggaccac cggcggcc ccaacgtcgcc cctgagcgct	1620
ctcaacctcg ccgcggcca ggagggcgcg ctgcggccca cggccacca ccaccagcac	1680
cacggccacc accacccgca ggcccgcgcg ccccccggg ctccccagcc ccagccgacg	1740
ccgcagcccg gggccgcgcg ggcccaggcg gcctcctggt atctcaacca cagcggggac	1800
ctgaaccacc tcccgccca cacgttcgca gcccagcagc aaactttccc caacgtgcgg	1860
gagatgttca actcccacgg gctgggatt gagaactcga ccctcgggg gtcccaggta	1920
agtggcaatg ccagctgcca gctgccctac agatccacgc cgcctctcta tgcgcacca	1980
gccccctact cctacgactg cacgaaatac tgacgtgtcc cgggacactcc cctcccccgc	2040
ccgctccggc ttgcgttccc agcccgacc caaccagaca attaagggc tgcagagacg	2100
aaaaaaagaa aaaaaacatg tccaccaacc ttttctcaga cccggagca gagagcgggc	2160
acgcttagccc ccagccgtct gtgaagagcg caggtaactt taattcgccg ccccgttct	2220
gggatcccag gaaacccctc caaaggagc cagccaaaca aaatgagttat tgatctaaa	2280
atccccctcc cttaccagga cggctgtgct gtgctcgacc tgagcttca aaagttaagt	2340
tatggaccaa atccatagc gagccctag tgactttctg taggggtccc cataggtgt	2400
tgggggtctc tatagataat atatgtgtc tttgttaattt taaatttctc caaccgtgt	2460
gtacaaatgt gtggatttgt aatcaggcta tttgtttttt gttgttgtt ttcagagcca	2520
ttaatataat attaaagtt gagttcactg gataagttt tcatcttgcc caaccatttc	2580
taactgccaa attgaattca agaaaccgat gtgggtttt tttcctgtac aattatgaga	2640

tataattctt ttcccattg taggtcttt acaaaacaag aaaataattt attttttgt	2700		
tggggataa agaagtcaag tatctgatac ttttattta caaagtgtga tggtttgt	2760		
tagtaggttc caccctgagt attcctaaaa gaaaaaaaaaaa aaaaaagctt aaaaactcta	2820		
acttcatctg tgggtctt acgtggctt aatcggtta ctacctaa aataaaccca	2880		
tgttgggg tctgcccaa	2900		
<210> 2			
<211> 501			
<212> PRT			
<213> Homo sapiens			
<400> 2			
Met Gln Ala Arg Tyr Ser Val Ser Asp Pro Asn Ala Leu Gly Val Val			
1	5	10	15
Pro Tyr Leu Ser Glu Gln Asn Tyr Tyr Arg Ala Ala Gly Ser Tyr Gly			
20	25	30	
Gly Met Ala Ser Pro Met Gly Val Tyr Ser Gly His Pro Glu Gln Tyr			
35	40	45	
Ser Ala Gly Met Gly Arg Ser Tyr Ala Pro Tyr His His His Gln Pro			
50	55	60	
Ala Ala Pro Lys Asp Leu Val Lys Pro Pro Tyr Ser Tyr Ile Ala Leu			
65	70	75	80
Ile Thr Met Ala Ile Gln Asn Ala Pro Glu Lys Lys Ile Thr Leu Asn			
85	90	95	
Gly Ile Tyr Gln Phe Ile Met Asp Arg Phe Pro Phe Tyr Arg Glu Asn			
100	105	110	
Lys Gln Gly Trp Gln Asn Ser Ile Arg His Asn Leu Ser Leu Asn Glu			
115	120	125	
Cys Phe Val Lys Val Pro Arg Asp Asp Lys Lys Pro Gly Lys Ser			
130	135	140	
Tyr Trp Thr Leu Asp Pro Asp Ser Tyr Asn Met Phe Glu Asn Gly Ser			
145	150	155	160
Phe Leu Arg Arg Arg Arg Phe Lys Lys Lys Asp Val Ser Lys Glu			

165	170	175
Lys Glu Glu Arg Ala His Leu Lys Glu Pro Pro Pro Ala Ala Ser Lys		
180	185	190
Gly Ala Pro Ala Thr Pro His Leu Ala Asp Ala Pro Lys Glu Ala Glu		
195	200	205
Lys Lys Val Val Ile Lys Ser Glu Ala Ala Ser Pro Ala Leu Pro Val		
210	215	220
Ile Thr Lys Val Glu Thr Leu Ser Pro Glu Ser Ala Leu Gln Gly Ser		
225	230	235
Pro Arg Ser Ala Ala Ser Thr Pro Ala Gly Ser Pro Asp Gly Ser Leu		
245	250	255
Pro Glu His His Ala Ala Ala Pro Asn Gly Leu Pro Gly Phe Ser Val		
260	265	270
Glu Asn Ile Met Thr Leu Arg Thr Ser Pro Pro Gly Glu Leu Ser		
275	280	285
Pro Gly Ala Gly Arg Ala Gly Leu Val Val Pro Pro Leu Ala Leu Pro		
290	295	300
Tyr Ala Ala Ala Pro Pro Ala Ala Tyr Gly Gln Pro Cys Ala Gln Gly		
305	310	315
Leu Glu Ala Gly Ala Ala Gly Gly Tyr Gln Cys Ser Met Arg Ala Met		
325	330	335
Ser Leu Tyr Thr Gly Ala Glu Arg Pro Ala His Met Cys Val Pro Pro		
340	345	350
Ala Leu Asp Glu Ala Leu Ser Asp His Pro Ser Gly Pro Thr Ser Pro		
355	360	365
Leu Ser Ala Leu Asn Leu Ala Ala Gly Gln Glu Gly Ala Leu Ala Ala		
370	375	380
Thr Gly His His Gln His His Gly His His His Pro Gln Ala Pro		
385	390	395
Pro Pro Pro Pro Ala Pro Gln Pro Gln Pro Thr Pro Gln Pro Gly Ala		
405	410	415
Ala Ala Ala Gln Ala Ala Ser Trp Tyr Leu Asn His Ser Gly Asp Leu		

420	425	430
Asn His Leu Pro Gly His Thr Phe Ala Ala Gln Gln Gln Thr Phe Pro		
435	440	445
Asn Val Arg Glu Met Phe Asn Ser His Arg Leu Gly Ile Glu Asn Ser		
450	455	460
Thr Leu Gly Glu Ser Gln Val Ser Gly Asn Ala Ser Cys Gln Leu Pro		
465	470	475
Tyr Arg Ser Thr Pro Pro Leu Tyr Arg His Ala Ala Pro Tyr Ser Tyr		
485	490	495
Asp Cys Thr Lys Tyr		
500		
<210>	3	
<211>	7930	
<212>	DNA	
<213>	Homo sapiens	
<400>	3	
gcacctgccc gcagggacaa aggccacta cgggtcgaa actccccgcg ctccctttc		60
ccgctcgctcg cggggcagct tcaaagctgt caacgttcc cttagtcccc aataccagt		120
acagcttgcc aacacttggt gtcacatgtg agcctccac atgtattcac tctccattcc		180
agctctgtga ttgaaactctg ctcttattga cttaggggca gttggcagg catgcctcat		240
tccttgaatt gacagtcat cctaattttt gaataacta acactgaatc agcacttcta		300
aagcccttcc ttctccact ggcttcaactt ggcttcaga cataatgagg agactggctt		360
ttcgaggcgc tggttgtgct ctggtaaagg tgaagaagtt ggattccatg gttccaaga		420
gaagaagagc tacctccct tccagcagtg tcagcggga ctttcatgtat gggcaccatt		480
ctgtgtcaac accaggccca agcaggaaaa ggaggagact ttccaatctt ccaactgtag		540
atccatttgc cgtgtgccat gaactctata ataccatccg agactataag gatgaacagg		600
gcagacttct ctgtgagctc ttcatttaggg caccaagcg aagaaatcaa ccagactatt		660
atgaagtggc ttctcagccc attgacttga tgaaaatcca acagaaacta aaaatggaag		720
agtatgtga tggtaatttg ctgactgtcg acttccagct tcttttaac aatgcaaagt		780
cctattataa gccagattct cctgaatata aagccgcttgc aaactctgg gatttgtacc		840
ttcgacaacaaatgatgtt gttcagaaag gagaagcaga tgacgaagat gatgtgaag		900

atggcaaga caatcaggc acagtgactg aaggatctc tccagcttac ttgaaggaga	960
tcctggagca gcttctgaa gccatagtt tagctacaaa tccatcagga cgtcttacca	1020
gcgaacttt tcagaaactg ccttctaaag tgcaatatcc agattattat gcaataatta	1080
aggagccat agatctcaag accatgccc agaggataca gaatgaaagc tacaaaagta	1140
ttcatgcaat ggccaaagat atagatctcc tcgaaaaaaa tgccaaaact tataatgagc	1200
ctggctctca agtattcaag gatgcaaatt caattaaaaa aatattttat atgaaaaagg	1260
ctgaaattga acatcatgaa atggctaagt caagtctcg aatgaggact ccatccaact	1320
tggctgcgc cagactgaca ggtccttac acagtaaagg cagccttggt gaagagagaa	1380
atcccactag caagtattac cgtaataaaa gagcgtaca aggaggtcgt ttatcagcaa	1440
ttacaatggc acttcaatat ggctcagaaa gtgaagaaga tgctgctta gctgctgcac	1500
gctatgaaga gggagagtca gaagcagaaa gcatcactc ctttatggat gttcaatc	1560
cttttatca gctttatgac acagtttagga gttgtcgaa taaccaaggg cagctaata	1620
ctgaacctt ttaccatttgc cttcaaaaga aaaaataccc tgattattac cagcaaatta	1680
aatgcccatt atcactacaa cagatccgaa caaaaactgaa gaatcaagaa tatgaaactt	1740
tagatcattt ggagtgtgat ctgaatttaa tgttgaaaa tgccaaacgc tataatgtgc	1800
ccaaattcage catctacaag cgagttctaa aattgcagca agttatgcag gcaaagaaga	1860
aagagcttgc caggagagac gatatcgagg acggagacag catgatctc tcagccacct	1920
ctgatactgg tagtgccaaa agaaaaagga acactcatga cagttagatg ttgggtctca	1980
ggaggctatc cagtaaaaag aacataagaa agcagcgaat gaaaatctta ttcaatgttg	2040
ttcttgaagc tcgagagcca ggttcaggca gaagactttg tgacctattt atggttaaac	2100
catccaaaaa ggactatcct gattattata aaatcatctt ggagccatg gacttgaaaa	2160
taattgagca taacatccgc aatgacaaat atgctggta agaggaaatg atagaagaca	2220
tgaagctgat gtccggaaat gccaggact ataatgagga gggctccag gtttataatg	2280
atgcacat cctggagaag ttactcaagg agaaaaggaa agagctggc ccactgcctg	2340
atgatgatga catggcttcc cccaaactca agcttagtagt gaagagtggc atttctccta	2400
aaaaatcaaa atacatgact ccaatgcagc agaaaactaaa tgaggtctat gaagctgtaa	2460
agaactatac tgataagagg ggtcgccgcc tcagtccat atttctgagg cttccctcta	2520
gatctgagtt gcctgactac tatctgacta ttaaaaagcc catggacatg gaaaaattc	2580
gaagtccat gatggccaaac aagtaccaag atattgactc tatggttgag gactttgtca	2640
tgtatgttaa taatgcctgt acatacaatg agccggagtc tttgatctac aaagatgctc	2700
ttgttctaca caaagtccctg cttgaaacac gcagagaccc ggagggagat gaggactctc	2760

atgtccaaa tgtgactttg ctgattcaag agcttatcca caattttt gtgtcagtca	2820
tgagtcatca gnatgatgag gaaagatgct acagcgattc tttacgcaga attcctgctg	2880
tggatccaa cttcctaacc aaaccacccc ttacattga cataattagg aagaatgtt	2940
aaaataatcg ctaccgtcg ggatgtttat ttcaagagca taatgttcaa gtattggaa	3000
gagcaagaag gatgaatcg ggatgtttat gaatataatga agatgcagta gaacttcagc	3060
agtttttat taaaattcgt gatgaactct gcaaaaatgg agagattctt cttcacccg	3120
cactcagcta taccacaaaa cattgcata atgatgtgga gaaagagaga aaggaaaaat	3180
tgccaaaaga aatagaggaa gataaactaa aacgagaaga agaaaaaaga gaagctgaaa	3240
agagtgaaat ttcctctgg gctgcaggcc tctcaggcatt acatcgacaca tacagccagg	3300
actgttagctt taaaaacagc atgttaccatg ttggagatata cgtctatgtg gaacctgcag	3360
aggccaaacct acaaccacat atcgctgtt ttgaaagact gtgggaggat tcagctggtg	3420
aaaaatggtt gtatggctgt tggtttacc gaccaaatga aacattccac ctggctacac	3480
gaaaatttct agaaaaagaa gttttaaga gtgactattt caacaagtt ccagtttagta	3540
aaattctagg caagtgtgt gtcattttg tcaaggata cttaagtt tgcccgaaaa	3600
acttccgaga tgaggatgtt ttgtctgtg aatcacggta ttctgcacaaa accaaatctt	3660
ttaagaaaaat taaactgtgg accatgccca tcagtcgtt caggttgc cctcggatg	3720
tgcctctgcc tgggttcgc gtggcctctg tatttgcacaa tgcagataaa ggtgtatgt	3780
agaagaatac agacaactca gaggacagtc gagctgaaga caattttac ttggaaaaagg	3840
aaaaagaaga tgtccctgtg gaaatgtcca atggtaacc agttgccac tactttgagc	3900
agctccatta caatgacatg tggctgaagg ttggcgactg tgtcttcattt aagtcccatg	3960
gcctgggtcg tcctcgtgtt ggcagaattt aaaaagtatg gggtcgagat ggagctgcat	4020
attttatgg ccccatcttc attcacccag aagaaacaga gcatgagcccc acaaaaatgt	4080
tctacaaaaaa agaagtattt ctgagtaatc tggaagaaac ctgccccatg acatgtattc	4140
tcggaaagtg tgcgtgtttt tcattcaagg acttcccttc ctgcaggccaa actgaaatac	4200
cagaaaaatga cattctgctt tgcgtggcc gctacaatga gagcgcacaag cagatgaaga	4260
aattcaaagg attgaagagg ttttactct ctgctaaagt ggttagatgtt gaaattttact	4320
acttcagaaaa accaatttgtt cctcagaagg agccatcacc tttgctggaa aagaagatcc	4380
agttgctaga agttaatattt gccgagttttag aaggtggaga tgcgtatattt gaagagatgg	4440
gagaagaaga tagtgaggc attgaacccctt cttcttacc tcagcttcag accccctgg	4500
ccagtgagct ggacctcatg ccctacacac ccccacagtc taccctaaag tctgccaag	4560
gcagtgcacaa gaaggaaggc tccaaacggaa aatcaacat gagtggttac atcctgttca	4620

gcagttagat gagggtgtt attaaggccc aacaccaga ctactttc ggggagctca 4680

gccgccttgtt ggggacagaa tggagaaatc ttgagacagc caagaaagca gaatatgaag 4740
gtgtgatgaa ccaaggagtg gccccatgg tagggactcc agcaccagggt ggaagtccat 4800
atggacaaca ggtgggagtt ttggggcctc cagggcagca ggcaccaccc ccatatcccg 4860
gcccacatcc agctggaccc cctgtcatac agcagccaac aacacccatg ttttagctc 4920
ccccaccaaa gacctcggtt cttttttttt cttttttttt cttttttttt cttttttttt 4980
tcagtgccgtt gtccaaacagc attagcaagt gggatcagac actggcagct cgaagacgct 5040
acgtccattt gtcgaaagaa caggagagcc gcctaccctc tcactggctg aaaagcaaag 5100

ggggcccacac caccatggca gatgccctct ggccgcctcg agatttgatg ctccggacac 5160
ccctcaacat tcgccaagca tacaacctag aaaatgtta atcacatcat tacgtttctt 5220
tttatatagaa gcataaagat ttgtggatca gtagccattt tagttactgg ggggtgggggg 5280
aaggaacaaa ggaggataat ttttattgca ttttactgta catcacaagg ccattttat 5340
atacggacac ttttaataag ctattcaat ttgtttgtt tattaagttt actttatcaa 5400
atacacaagat attttttgc atatgttcc ttctttttt accagttca taattggttt 5460
tatatgtaga ctggagttt tttttttt ttgttgcca tggaactgaa accatttagag 5520

gtttttgtct tggcttgggg tttttgtttt ctgggttttgg ttttttttttata ttttttttttata 5580
taaaagaaca aaatgaaaaaa aaacacacac acacaagagt ttacagatta gtttttttttata 5640
ataatgaaat gtgaagttttgc ttttttttttata ctttttttttata ctttttttttata 5700
gtttcatgtt cctgaatatc ttaagccact ttctgaaaaa gctgttttttata acagatgaag 5760
tgcgttttttata gaaagggttttata ttttttttttata ttttttttttata ttttttttttata 5820
tctatttttttata ctttttttttata ctttttttttata ctttttttttata ttttttttttata 5880
ctaatgttacc ttctggacac caggaggggaa aaaaggactt ttttttttttata ttttttttttata 5940

acatctgttttata gtttttttttata gtttttttttata gtttttttttata gtttttttttata 6000
gtatgttttttata ttttttttttata ttttttttttata ttttttttttata ttttttttttata 6060
aatttttttttata ttttttttttata ttttttttttata ttttttttttata ttttttttttata 6120
tgaagtttttata ctttttttttata ttttttttttata ttttttttttata ttttttttttata 6180
acacctaacc taacatgggtt aagagagttt gtttttttttata ttttttttttata ttttttttttata 6240
aatttttttttata ttttttttttata ttttttttttata ttttttttttata ttttttttttata 6300
ctttttttttata ttttttttttata ttttttttttata ttttttttttata ttttttttttata 6360

aattaatac ttctaaaat attttaaa tttagctgt gctttgaat tacaggagaa	6420
ggaatcata attaataaa acgcttacta gaaagaccat tacagatccc aaacactgg	6480
gttggtgac cctgtcttc ttatatgacc ctacaataaa cattgaagg cagcatagga	6540
tggcagacag taggaacatt gtttcaactg gcggcatgtt ttigaacct gctttatagt	6600
aactgggtga ttgccattgt ggtagagctt ccactgctgt ttataatctg agagagttaa	6660
tctcagagga tgcttttc cttaatct gctatgaatc agtaccaga tgtaat	6720
ctgtacttat taaatcatga gggcaaaaga gtgtagaatg gaaaaaagtc tcttgtatct	6780

agatactta aatatggag gcccttaac ttaattgcct ttagtcaacc actggatttg	6840
aatttgcac aagtattta aataatattt aatttaaaaa aatgtattgc agtagtgtt	6900
cagtagccat tttttaaagt gagtcagata aatctcaat tcctggctat ttggcaatt	6960
gaatcatcat ggactgtata atgcaatcg attattttgt ttctagacat ctttgaatta	7020
caccaaagaa catgaaattt agttgtggaa aaattattt tttatttcat gcattcattt	7080
tattccctt aaggctcgga tgagacttct ttggggagcc tctaaaaaaaaa ttttcactg	7140
ggggccacgt gggtcattag aagccagagc tctccctccag gctcctccc agtgcctaga	7200

gggtctatag gaaacataga tccagccagg ggctcccta aagcagtgc gcaccggccc	7260
aggcatcac tagacaggcc ctaattaagt ttttttaaa aagcctgtgt atttatttttta	7320
gaatcatgtt ttctgtata ttaacttggg ggatatcgaa atatattagg atataagatt	7380
tgaggtcagc catttcaaa aaagaaaaaa aaattgactc aagaaagtac aagtaaacta	7440
tacacccccc ttccataagt tttaggaact gtagtaatgt ggcttagaaa gtataatggc	7500
ctaaatgtt tcaaaatgtt agttctgtg gagaagaatt gtttatattt caaacggggg	7560
gactgagggg aacctgttagg tttaaaacag tatgtttgtc agccaactga tttaaaaggc	7620

ctttaactgt ttgggtgtt gtttttttt taagccactc tcccttcct atgaggaaga	7680
attgagaggg gcaccttattt ctgtaaaatc cccaaattgg ttttgatgtat tttgagctt	7740
aatgtttca tacctgatta aaacttgggtt tattctaatt tctgtatcat atcatctgag	7800
gtttacgtgg taactgtct tataacatgt atgtatctt ttttgggtt tcatctaaag	7860
cttttaatc caaataaata cagagttgc aaagtgattt ggattaacca ggaaaaaaaaaa	7920
aaaaaaaaaaa	7930

<210> 4

<211> 1618

<212> PRT

<213> Homo sapiens

<400> 4

Met Arg Arg Leu Ala Phe Arg Gly Ala Gly Cys Ala Leu Val Lys Leu

1 5 10 15

Lys Lys Leu Asp Ser Met Gly Ser Lys Arg Arg Arg Ala Thr Ser Pro

20 25 30

Ser Ser Ser Val Ser Gly Asp Phe Asp Asp Gly His His Ser Val Ser

35 40 45

Thr Pro Gly Pro Ser Arg Lys Arg Arg Arg Leu Ser Asn Leu Pro Thr

50 55 60

Val Asp Pro Ile Ala Val Cys His Glu Leu Tyr Asn Thr Ile Arg Asp

65 70 75 80

Tyr Lys Asp Glu Gln Gly Arg Leu Leu Cys Glu Leu Phe Ile Arg Ala

85 90 95

Pro Lys Arg Arg Asn Gln Pro Asp Tyr Tyr Glu Val Val Ser Gln Pro

100 105 110

Ile Asp Leu Met Lys Ile Gln Gln Lys Leu Lys Met Glu Glu Tyr Asp

115 120 125

Asp Val Asn Leu Leu Thr Ala Asp Phe Gln Leu Leu Phe Asn Asn Ala

130 135 140

Lys Ser Tyr Tyr Lys Pro Asp Ser Pro Glu Tyr Lys Ala Ala Cys Lys

145 150 155 160

Leu Trp Asp Leu Tyr Leu Arg Thr Arg Asn Glu Phe Val Gln Lys Gly

165 170 175

Glu Ala Asp Asp Glu Asp Asp Glu Asp Gly Gln Asp Asn Gln Gly

180 185 190

Thr Val Thr Glu Gly Ser Ser Pro Ala Tyr Leu Lys Glu Ile Leu Glu

195 200 205

Gln Leu Leu Glu Ala Ile Val Val Ala Thr Asn Pro Ser Gly Arg Leu

210 215 220

Ile Ser Glu Leu Phe Gln Lys Leu Pro Ser Lys Val Gln Tyr Pro Asp

225 230 235 240

Tyr Tyr Ala Ile Ile Lys Glu Pro Ile Asp Leu Lys Thr Ile Ala Gln

245	250	255
Arg Ile Gln Asn Gly Ser Tyr Lys Ser Ile His Ala Met Ala Lys Asp		
260	265	270
Ile Asp Leu Leu Ala Lys Asn Ala Lys Thr Tyr Asn Glu Pro Gly Ser		
275	280	285
Gln Val Phe Lys Asp Ala Asn Ser Ile Lys Lys Ile Phe Tyr Met Lys		
290	295	300
Lys Ala Glu Ile Glu His His Glu Met Ala Lys Ser Ser Leu Arg Met		
305	310	315
Arg Thr Pro Ser Asn Leu Ala Ala Arg Leu Thr Gly Pro Ser His		
325	330	335
Ser Lys Gly Ser Leu Gly Glu Glu Arg Asn Pro Thr Ser Lys Tyr Tyr		
340	345	350
Arg Asn Lys Arg Ala Val Gln Gly Gly Arg Leu Ser Ala Ile Thr Met		
355	360	365
Ala Leu Gln Tyr Gly Ser Glu Ser Glu Glu Asp Ala Ala Leu Ala Ala		
370	375	380
Ala Arg Tyr Glu Glu Gly Glu Ser Glu Ala Glu Ser Ile Thr Ser Phe		
385	390	395
Met Asp Val Ser Asn Pro Phe Tyr Gln Leu Tyr Asp Thr Val Arg Ser		
405	410	415
Cys Arg Asn Asn Gln Gly Gln Leu Ile Ala Glu Pro Phe Tyr His Leu		
420	425	430
Pro Ser Lys Lys Tyr Pro Asp Tyr Tyr Gln Gln Ile Lys Met Pro		
435	440	445
Ile Ser Leu Gln Gln Ile Arg Thr Lys Leu Lys Asn Gln Glu Tyr Glu		
450	455	460
Thr Leu Asp His Leu Glu Cys Asp Leu Asn Leu Met Phe Glu Asn Ala		
465	470	475
Lys Arg Tyr Asn Val Pro Asn Ser Ala Ile Tyr Lys Arg Val Leu Lys		
485	490	495

Leu Gln Gln Val Met Gln Ala Lys Lys Glu Leu Ala Arg Arg Asp
 500 505 510
 Asp Ile Glu Asp Gly Asp Ser Met Ile Ser Ser Ala Thr Ser Asp Thr
 515 520 525
 Gly Ser Ala Lys Arg Lys Arg Asn Thr His Asp Ser Glu Met Leu Gly
 530 535 540
 Leu Arg Arg Leu Ser Ser Lys Lys Asn Ile Arg Lys Gln Arg Met Lys
 545 550 555 560
 Ile Leu Phe Asn Val Val Leu Glu Ala Arg Glu Pro Gly Ser Gly Arg
 565 570 575
 Arg Leu Cys Asp Leu Phe Met Val Lys Pro Ser Lys Lys Asp Tyr Pro
 580 585 590
 Asp Tyr Tyr Lys Ile Ile Leu Glu Pro Met Asp Leu Lys Ile Ile Glu
 595 600 605
 His Asn Ile Arg Asn Asp Lys Tyr Ala Gly Glu Glu Gly Met Ile Glu
 610 615 620
 Asp Met Lys Leu Met Phe Arg Asn Ala Arg His Tyr Asn Glu Glu Gly
 625 630 635 640
 Ser Gln Val Tyr Asn Asp Ala His Ile Leu Glu Lys Leu Leu Lys Glu
 645 650 655
 Lys Arg Lys Glu Leu Gly Pro Leu Pro Asp Asp Asp Met Ala Ser
 660 665 670
 Pro Lys Leu Lys Leu Ser Arg Lys Ser Gly Ile Ser Pro Lys Lys Ser
 675 680 685
 Lys Tyr Met Thr Pro Met Gln Gln Lys Leu Asn Glu Val Tyr Glu Ala
 690 695 700
 Val Lys Asn Tyr Thr Asp Lys Arg Gly Arg Arg Leu Ser Ala Ile Phe
 705 710 715 720
 Leu Arg Leu Pro Ser Arg Ser Glu Leu Pro Asp Tyr Tyr Leu Thr Ile
 725 730 735
 Lys Lys Pro Met Asp Met Glu Lys Ile Arg Ser His Met Met Ala Asn
 740 745 750

Lys Tyr Gln Asp Ile Asp Ser Met Val Glu Asp Phe Val Met Met Phe		
755	760	765
Asn Asn Ala Cys Thr Tyr Asn Glu Pro Glu Ser Leu Ile Tyr Lys Asp		
770	775	780

Ala Leu Val Leu His Lys Val Leu Leu Glu Thr Arg Arg Asp Leu Glu
 785 790 795 800
 Gly Asp Glu Asp Ser His Val Pro Asn Val Thr Leu Leu Ile Gln Glu
 805 810 815

Leu Ile His Asn Leu Phe Val Ser Val Met Ser His Gln Asp Asp Glu
820 825 830

Gly Arg Cys Tyr Ser Asp Ser Leu Ala Glu Ile Pro Ala Val Asp Pro
 835 840 845

Asn Phe Pro Asn Lys Pro Pro Leu Thr Phe Asp Ile Ile Arg Lys Asn

850	855	860	
Val Glu Asn Asn Arg Tyr Arg Arg Leu Asp Leu Phe Gln Glu His Met			
865	870	875	880
Phe Glu Val Leu Glu Arg Ala Arg Arg Met Asn Arg Thr Asp Ser Glu			
	885	890	895
Ile Tyr Glu Asp Ala Val Glu Leu Gln Gln Phe Phe Ile Lys Ile Arg			
	900	905	910
Asp Glu Leu Cys Lys Asn Gly Glu Ile Leu Leu Ser Pro Ala Leu Ser			
	915	920	925

Tyr	Thr	Thr	Lys	His	Leu	His	Asn	Asp	Val	Glu	Lys	Glu	Arg	Lys	Glu
930															
Lys	Leu	Pro	Lys	Glu	Ile	Glu	Glu	Asp	Lys	Leu	Lys	Arg	Glu	Glu	Glu
945															
Lys	Arg	Glu	Ala	Glu	Lys	Ser	Glu	Asp	Ser	Ser	Gly	Ala	Ala	Gly	Leu
965															
Ser	Gly	Leu	His	Arg	Thr	Tyr	Ser	Gln	Asp	Cys	Ser	Phe	Lys	Asn	Ser
980															
Met	Tyr	His	Val	Gly	Asp	Tyr	Val	Tyr	Val	Glu	Pro	Ala	Glu	Ala	Asn

995 1000 1005

Leu Gln Pro His Ile Val Cys Ile Glu Arg Leu Trp Glu Asp Ser Ala

1010 1015 1020

Gly Glu Lys Trp Leu Tyr Gly Cys Trp Phe Tyr Arg Pro Asn Glu Thr

1025 1030 1035 1040

Phe His Leu Ala Thr Arg Lys Phe Leu Glu Lys Glu Val Phe Lys Ser

1045 1050 1055

Asp Tyr Tyr Asn Lys Val Pro Val Ser Lys Ile Leu Gly Lys Cys Val

1060 1065 1070

Val Met Phe Val Lys Glu Tyr Phe Lys Leu Cys Pro Glu Asn Phe Arg

1075 1080 1085

Asp Glu Asp Val Phe Val Cys Glu Ser Arg Tyr Ser Ala Lys Thr Lys

1090 1095 1100

Ser Phe Lys Lys Ile Lys Leu Trp Thr Met Pro Ile Ser Ser Val Arg

1105 1110 1115 1120

Phe Val Pro Arg Asp Val Pro Leu Pro Val Val Arg Val Ala Ser Val

1125 1130 1135

Phe Ala Asn Ala Asp Lys Gly Asp Asp Glu Lys Asn Thr Asp Asn Ser

1140 1145 1150

Glu Asp Ser Arg Ala Glu Asp Asn Phe Asn Leu Glu Lys Glu Lys Glu

1155 1160 1165

Asp Val Pro Val Glu Met Ser Asn Gly Glu Pro Gly Cys His Tyr Phe

1170 1175 1180

Glu Gln Leu His Tyr Asn Asp Met Trp Leu Lys Val Gly Asp Cys Val

1185 1190 1195 1200

Phe Ile Lys Ser His Gly Leu Val Arg Pro Arg Val Gly Arg Ile Glu

1205 1210 1215

Lys Val Trp Val Arg Asp Gly Ala Ala Tyr Phe Tyr Gly Pro Ile Phe

1220 1225 1230

Ile His Pro Glu Glu Thr Glu His Glu Pro Thr Lys Met Phe Tyr Lys

1235 1240 1245

Lys Glu Val Phe Leu Ser Asn Leu Glu Glu Thr Cys Pro Met Thr Cys

1250	1255	1260
Ile Leu Gly Lys Cys Ala Val Leu Ser Phe Lys Asp Phe Leu Ser Cys		
1265	1270	1275
Arg Pro Thr Glu Ile Pro Glu Asn Asp Ile Leu Leu Cys Glu Ser Arg		
1285	1290	1295
Tyr Asn Glu Ser Asp Lys Gln Met Lys Lys Phe Lys Gly Leu Lys Arg		
1300	1305	1310
Phe Ser Leu Ser Ala Lys Val Val Asp Asp Glu Ile Tyr Tyr Phe Arg		
1315	1320	1325
Lys Pro Ile Val Pro Gln Lys Glu Pro Ser Pro Leu Leu Glu Lys Lys		
1330	1335	1340
Ile Gln Leu Leu Glu Ala Lys Phe Ala Glu Leu Glu Gly Gly Asp Asp		
1345	1350	1355
Asp Ile Glu Glu Met Gly Glu Glu Asp Ser Glu Val Ile Glu Pro Pro		
1365	1370	1375
Ser Leu Pro Gln Leu Gln Thr Pro Leu Ala Ser Glu Leu Asp Leu Met		
1380	1385	1390
Pro Tyr Thr Pro Pro Gln Ser Thr Pro Lys Ser Ala Lys Gly Ser Ala		
1395	1400	1405
Lys Lys Glu Gly Ser Lys Arg Lys Ile Asn Met Ser Gly Tyr Ile Leu		
1410	1415	1420
Phe Ser Ser Glu Met Arg Ala Val Ile Lys Ala Gln His Pro Asp Tyr		
1425	1430	1435
Ser Phe Gly Glu Leu Ser Arg Leu Val Gly Thr Glu Trp Arg Asn Leu		
1445	1450	1455
Glu Thr Ala Lys Lys Ala Glu Tyr Glu Gly Val Met Asn Gln Gly Val		
1460	1465	1470
Ala Pro Met Val Gly Thr Pro Ala Pro Gly Gly Ser Pro Tyr Gly Gln		
1475	1480	1485
Gln Val Gly Val Leu Gly Pro Pro Gly Gln Gln Ala Pro Pro Pro Tyr		
1490	1495	1500

Pro Gly Pro His Pro Ala Gly Pro Pro Val Ile Gln Gln Pro Thr Thr
 1505 1510 1515 1520
 Pro Met Phe Val Ala Pro Pro Pro Lys Thr Gln Arg Leu Leu His Ser
 1525 1530 1535
 Glu Ala Tyr Leu Lys Tyr Ile Glu Gly Leu Ser Ala Glu Ser Asn Ser
 1540 1545 1550
 Ile Ser Lys Trp Asp Gln Thr Leu Ala Ala Arg Arg Arg Asp Val His
 1555 1560 1565
 Leu Ser Lys Glu Gln Glu Ser Arg Leu Pro Ser His Trp Leu Lys Ser
 1570 1575 1580
 Lys Gly Ala His Thr Thr Met Ala Asp Ala Leu Trp Arg Leu Arg Asp
 1585 1590 1595 1600
 Leu Met Leu Arg Asp Thr Leu Asn Ile Arg Gln Ala Tyr Asn Leu Glu
 1605 1610 1615
 Asn Val

<210>	5	
<211>	3600	
<212>	DNA	
<213>	Homo sapiens	
<400>	5	
gggtgacgca	actggcccg ttgtctgtgt gtggactga gggcccccgg gggcggtggg	60
ggctcccggt	ggggcagcg gtggggaggg agggcctgga catggcgctg aggggccccc	120
ccgcgggaag	atgaataagg gctggctgga gctggagagc gaccaggcc tcttacccct	180
gctcgtaaa	gatttcggtg tcaagggggt gcaagtggag gagatctacg accttcagag	240
caaatgtcag	ggccctgtat atggatttat cttcctgttc aaatggatcg aagagcgcgg	300
gtcccgccga	aaggctctta cttgggtgga tgatacgcc gtgattgatg atgatattgt	360
gaataacatg	ttctttgccc accagctgat acccaactct tgtgcaactc atgccttgct	420
gagcgtgctc	ctgaactgca gcagcgtgga cctgggaccc accctgagtc gcatgaagga	480
cttacccaag	ggttcagcc ctgagagcaa aggatatgcg attggcaatg cccggagtt	540
ggccaaggcc	cataatagcc atgccaggcc cgagccacgc cacccctg agaaggcagaa	600
tggccttagt	gcagtgcgga ccatggaggc gttccacttt gtcagctatg tgcctatcac	660

aggccggctc tttgagctgg atgggctgaa ggtctacccc attgaccatg gcccctgggg	720
ggaggacgag gagtgacag acaaggcccg gcgggtcatc atggagcgta tcggcctcg	780
cactgcaggg gagccctacc acgacatccg cttcaacctg atggcagtgg tgcccgaccg	840
caggatcaag taigaggcca ggctgcatgt gctgaaggtg aaccgtcaga cagtactaga	900
ggctctgcag cagctgataa gagtaacaca gccagagctg attcagaccc acaagtctca	960
agagtacacag ctgcctgagg agtccaagtc agccagcaac aagtccccgc tgggtgctgga	1020
agcaaacagg gcccctgcag cctctgaggg caaccacaca gatggtgcag aggaggccgc	1080
tggttcatgc gcacaagccc catcccacag ccctcccaac aaacccaagc tagtgtgaa	1140
gcctccaggc agcagccctca atggggtca ccccaacccc actcccatig tccagcgct	1200
gccggcctt ctagacaatc acaattatgc caagtcccc atgcaggagg aagaagacct	1260
ggcgcgcagg gtggggcgca gcccggatcc agtccgccta ccccagcagt actcagatga	1320
tgaggatgac tatgaggatg acgaggaggaa tgacgtgcag aacaccaact ctgccttag	1380
gtataagggg aaggaaacag ggaagccagg ggcattgagc ggttctgctg atggcaact	1440
gtcagtgctg cagcccaaca ccatcaacgt cttggctgag aagctcaaag agtcccagaa	1500
ggacctctca attctctgt ccatcaagac tagcagcggg gctgggagtc cggctgtggc	1560
agtccccaca cactcgacg cctcacccac ccccaagcaat gagagtacag acacggcctc	1620
tgagatcgcc agtgcttca actcgccact gcgctgcct atccgctcag ccaacccgac	1680
gcggccctcc agccctgtca cctccacat ctccaagggtg cttttggag aggatgacag	1740
cctgtcgct gtgtactgca tacgctacaa ccgtgtgtc cgtgatctgg gtcctgtcat	1800
cagcacaggg ctgctgcacc tggctgagga tgggtgctg agtccccctgg cgctgacaga	1860
gggtggaaag gttcctcgc cctccatcag accaatccaa ggcagccagg ggttcagcag	1920
cccagtggag aaggaggatcg tgaaagccac ggacagcaga gagaagacgg ggtatggtag	1980
gcctggcgag cccttgcgt gggagaaata ctcacccaaag gagctgtgg cactgctgaa	2040
gtgtgtggag gctgagattt caaactatga ggcgtgcctc aaggaggagg tagagaagag	2100
gaagaagttc aagattgtatg accagagaag gacccacaac tacgatgatg tcatctgcac	2160
ctttatctcc atgctggctc aggaaggcat gctggccaac ctgtggagc agaacatctc	2220
cgtgcggcgg cgccaaagggg tcagcatcg ccggctccac aagcagcgg agcctgaccg	2280
gcggaaaacgc tctcgccct acaaggccaa gcgcgcgtga ggactgtgg ccctgactct	2340
gcagccccact ctgcgcgtgt ggccctcacc agggctcttc cctgccccac ttcccccttt	2400
cccagtatta ctgaatagtc ccagctggag agtccaggcc ctggaaatgg gaggaaccag	2460
gccacattcc ttccatcgtg ccctgaggcc tgacacggca gatcagcccc atagtgtca	2520

ggaggcagca tctggagttg gggcacagcg aggtactgca gtttcctcca cagccggctg	2580
tggagcagca ggacctggcc cttctgcctg ggcagcagaa tatatattt acctatcaga	2640

gacatctatt ttctggct ccaaccaa ac atgccaccat gttgacataa gttcctac	2700
gactatgctt tctctccat gagctgtctt ggtggggcca ggtccttgta tcatgccac	2760
gtcccaacta cagggctcta gctggggcc tgggtggcc ctggctctg gcccgtctg	2820
ctcttagcccc acccaccagc ctgtccctgt tgtaaggaag ccaggtctt tcttttatt	2880
cctcttagga gagtgccaaa ctcagggacc cagcactgg ctgggttgg agtagggtgt	2940
cccagtgggg ttgggttag caggctgctg ggatccatg gcctgagcag agcatgtggg	3000
aactgttcag tggctgtga actgtcttcc ttgttctagc caggctgtt aagactgtc	3060

tccatagcaa gtttctaggg ctttcgct tcagtgttgt ggcctagct atggcctaa	3120
atgggctct aggtctctgt ccctggcgt tgaggctcag aagagcctct gtccagcccc	3180
tcagtagttt catgtctccc ttcaggggt agcagagaca gggttgctta taggaagctg	3240
gcaccactca gctttcctg ctactccagt ttccctcagcc tctgcaaggc actcagggtg	3300
ggggacagca ggtcaagac aaccgttgg agccctgtt ttccagagga cctgatgcca	3360
agggtaatg gcccagcag tgcctctgaa gcccaggccc caacacagcc ccatggcctc	3420
tgcagatgg ctgtaaaaa ggtgatccaa gcaggccc ttatctgtac atagtgactg	3480

agtgggggt gctggcaagt gtggcagctg cctctggct gagcacagct tgaccctct	3540
agccctgtta aatactggat caatgaatga ataaaactct cctaagaatc tcctgagaaa	3600
	3600

<210> 6

<211> 729

<212> PRT

<213> Homo sapiens

<400> 6

Met Asn Lys Gly Trp Leu Glu Leu Glu Ser Asp Pro Gly Leu Phe Thr

1 5 10 15

Leu Leu Val Glu Asp Phe Gly Val Lys Gly Val Gln Val Glu Glu Ile

20 25 30

Tyr Asp Leu Gln Ser Lys Cys Gln Gly Pro Val Tyr Gly Phe Ile Phe

35 40 45

Leu Phe Lys Trp Ile Glu Glu Arg Arg Ser Arg Arg Lys Val Ser Thr

50	55	60
Leu Val Asp Asp Thr Ser Val Ile Asp Asp Asp Ile Val Asn Asn Met		
65	70	75
Phe Phe Ala His Gln Leu Ile Pro Asn Ser Cys Ala Thr His Ala Leu		
85	90	95
Leu Ser Val Leu Leu Asn Cys Ser Ser Val Asp Leu Gly Pro Thr Leu		
100	105	110
Ser Arg Met Lys Asp Phe Thr Lys Gly Phe Ser Pro Glu Ser Lys Gly		
115	120	125
Tyr Ala Ile Gly Asn Ala Pro Glu Leu Ala Lys Ala His Asn Ser His		
130	135	140
Ala Arg Pro Glu Pro Arg His Leu Pro Glu Lys Gln Asn Gly Leu Ser		
145	150	155
Ala Val Arg Thr Met Glu Ala Phe His Phe Val Ser Tyr Val Pro Ile		
165	170	175
Thr Gly Arg Leu Phe Glu Leu Asp Gly Leu Lys Val Tyr Pro Ile Asp		
180	185	190
His Gly Pro Trp Gly Glu Asp Glu Glu Trp Thr Asp Lys Ala Arg Arg		
195	200	205
Val Ile Met Glu Arg Ile Gly Leu Ala Thr Ala Gly Glu Pro Tyr His		
210	215	220
Asp Ile Arg Phe Asn Leu Met Ala Val Val Pro Asp Arg Arg Ile Lys		
225	230	235
Tyr Glu Ala Arg Leu His Val Leu Lys Val Asn Arg Gln Thr Val Leu		
245	250	255
Glu Ala Leu Gln Gln Leu Ile Arg Val Thr Gln Pro Glu Leu Ile Gln		
260	265	270
Thr His Lys Ser Gln Glu Ser Gln Leu Pro Glu Glu Ser Lys Ser Ala		
275	280	285
Ser Asn Lys Ser Pro Leu Val Leu Glu Ala Asn Arg Ala Pro Ala Ala		
290	295	300
Ser Glu Gly Asn His Thr Asp Gly Ala Glu Glu Ala Ala Gly Ser Cys		

305	310	315	320
-----	-----	-----	-----

Ala Gln Ala Pro Ser His Ser Pro Pro Asn Lys Pro Lys Leu Val Val

325	330	335
-----	-----	-----

Lys Pro Pro Gly Ser Ser Leu Asn Gly Val His Pro Asn Pro Thr Pro

340	345	350
-----	-----	-----

Ile Val Gln Arg Leu Pro Ala Phe Leu Asp Asn His Asn Tyr Ala Lys

355	360	365
-----	-----	-----

Ser Pro Met Gln Glu Glu Glu Asp Leu Ala Ala Gly Val Gly Arg Ser

370	375	380
-----	-----	-----

Arg Val Pro Val Arg Pro Pro Gln Gln Tyr Ser Asp Asp Glu Asp Asp

385	390	395	400
-----	-----	-----	-----

Tyr Glu Asp Asp Glu Glu Asp Asp Val Gln Asn Thr Asn Ser Ala Leu

405	410	415
-----	-----	-----

Arg Tyr Lys Gly Lys Gly Thr Gly Lys Pro Gly Ala Leu Ser Gly Ser

420	425	430
-----	-----	-----

Ala Asp Gly Gln Leu Ser Val Leu Gln Pro Asn Thr Ile Asn Val Leu

435	440	445
-----	-----	-----

Ala Glu Lys Leu Lys Glu Ser Gln Lys Asp Leu Ser Ile Pro Leu Ser

450	455	460
-----	-----	-----

Ile Lys Thr Ser Ser Gly Ala Gly Ser Pro Ala Val Ala Val Pro Thr

465	470	475	480
-----	-----	-----	-----

His Ser Gln Pro Ser Pro Thr Pro Ser Asn Glu Ser Thr Asp Thr Ala

485	490	495
-----	-----	-----

Ser Glu Ile Gly Ser Ala Phe Asn Ser Pro Leu Arg Ser Pro Ile Arg

500	505	510
-----	-----	-----

Ser Ala Asn Pro Thr Arg Pro Ser Ser Pro Val Thr Ser His Ile Ser

515	520	525
-----	-----	-----

Lys Val Leu Phe Gly Glu Asp Asp Ser Leu Leu Arg Val Asp Cys Ile

530	535	540
-----	-----	-----

Arg Tyr Asn Arg Ala Val Arg Asp Leu Gly Pro Val Ile Ser Thr Gly

545	550	555	560
-----	-----	-----	-----

Leu Leu His Leu Ala Glu Asp Gly Val Leu Ser Pro Leu Ala Leu Thr

565 570 575

Glu Gly Gly Lys Gly Ser Ser Pro Ser Ile Arg Pro Ile Gln Gly Ser

Gln Gly Ser Ser Ser Pro Val Glu Lys Glu Val Val Glu Ala Thr Asp

Ser Arg Glu Lys Thr Gly Met Val Arg Pro Gly Glu Pro Leu Ser Gly

Glu Lys Tyr Ser Pro Lys Glu Leu Leu Ala Leu Leu Lys Cys Val Glu

625 630 635 640

Ala Glu Ile Ala Asn Tyr Glu Ala Cys Leu Lys Glu Glu Val Glu Lys

Arg Lys Lys Phe Lys Ile Asp Asp Gln Arg Arg Thr His Asn Tyr Asp

660 665 670

Glu Phe Ile Cys Thr Phe Ile Ser Met Leu Ala Gln Glu Gly Met Leu

Ala Asn Leu Val Glu Gln Asn Ile Ser Val Arg Arg Arg Gln Gly Val

690 695 700

Ser Ile Gly Arg Leu His Lys Gln Arg Lys Pro Asp Arg Arg Lys Arg

705 710

Lys

<210> 7

<211> 20

<212> DNA

<213> Artificial Sequence

<220><223>

<400> 7

<210> 8

-21-

<213>	Artificial Sequence	
<220><223>	FOXC2 reverse primer	
<400>	8	
accttgacga agcactcggt		20
<210>	9	
<211>	20	
<212>	DNA	
<213>	Artificial Sequence	
<220><223>	CLIP4 forward primer	
<400>	9	
gcatcatgcc aggaaattct		20
<210>	10	
<211>	20	
<212>	DNA	
<213>	Artificial Sequence	
<220><223>	CLIP4 reverse primer	
<400>	10	
tttgttggac ctgaggaacc		20
<210>	11	
<211>	20	
<212>	DNA	
<213>	Artificial Sequence	
<220><223>	PBRM1 forward primer	
<400>	11	
tgatggccaa caagtaccaa		20
<210>	12	
<211>	20	
<212>	DNA	
<213>	Artificial Sequence	
<220><223>	PBRM1 reverse primer	
<400>	12	
agatcaaaga ctccggctca		20
<210>	13	

<211>	20	
<212>	DNA	
<213>	Artificial Sequence	
<220><223> BAP1 forward primer		
<400>	13	
gcctgaggag tccaagttag		20
<210>	14	
<211>	20	
<212>	DNA	
<213>	Artificial Sequence	
<220><223> BAP1 reverse primer		
<400>	14	
ctggaggctt caccactagc		20
<210>	15	
<211>	20	
<212>	DNA	
<213>	Artificial Sequence	
<220><223> SETD2 forward primer		
<400>	15	
tcacaaggca gactcagtg		
<210>	16	20
<211>	20	
<212>	DNA	
<213>	Artificial Sequence	
<220><223> SETD2 reverse primer		
<400>	16	
ctgctgtctt gggctttc		20
<210>	17	
<211>	20	
<212>	DNA	
<213>	Artificial Sequence	
<220><223> KDM5C forward primer		
<400>	17	
gtcatttgca acccctgagt		20

<210> 18

<211> 20

<212> DNA

<213> Artificial Sequence

<220><223> KDM5C reverse primer

<400> 18

aatggatga gggtaaagg 20

<210> 19

<211> 20

<212> DNA

<213> Artificial Sequence

<220><223> GAPDH forward primer

<400> 19

cagcctcaag atcatcagca 20

<210> 20

<211> 20

<212> DNA

<213> Artificial Sequence

<220><223> GAPDH reverse primer

<400> 20

ggtgctaaggc agttggtggt 20